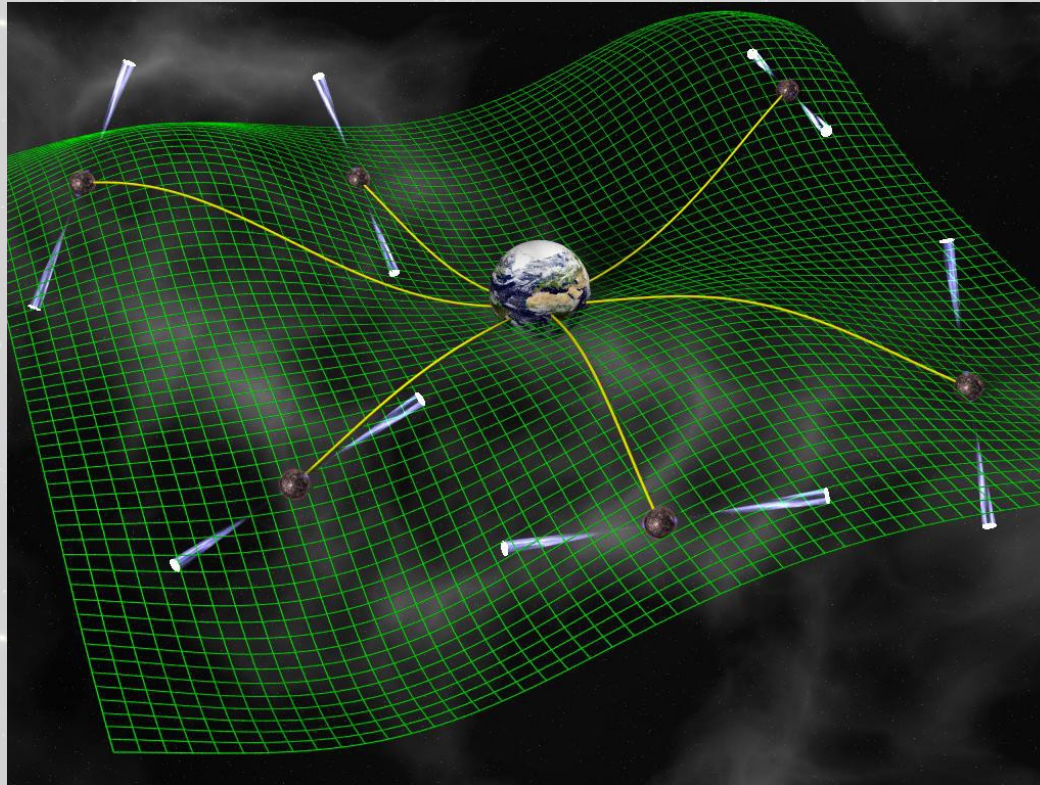


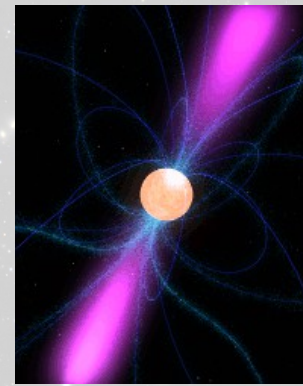
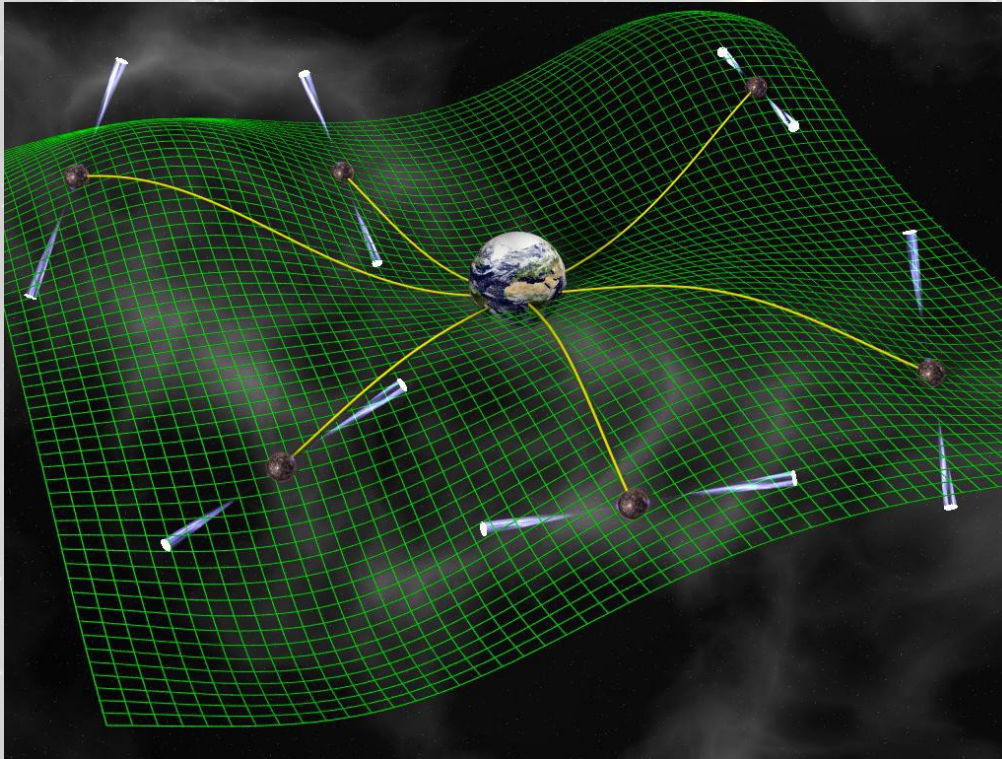
# Réseaux de pulsars (Pulsar Timing Arrays – PTA)



Journées SFP, Novembre 2017, Paris

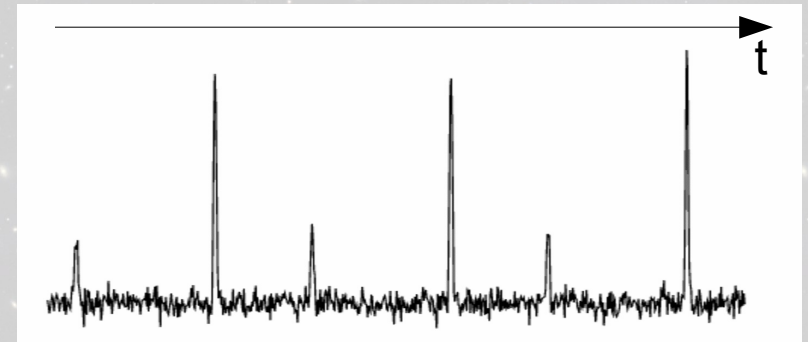
**G.Theureau**  
**LPC2E (Orléans) et Observatoire de Paris**

## Pulsar Timing Arrays : principes



**Pulsars :**  
des étoiles à neutrons  
fortement magnétisées  
en rotation rapide et stable

Un pulsar milliseconde est considéré  
comme une horloge quasi parfaite



**La Terre et le pulsar distant sont considérés comme des masses libres  
dont la position répond à des changements dans la métrique de l'espace-temps**

→ *Le passage d'une onde gravitationnelle perturbe la métrique  
et produit des fluctuations dans les temps d'arrivées des pulsations*

Avec une incertitude  $dt$  ( $\sim 100$  ns) et une période d'observation  $T$  ( $\sim 20$  ans)

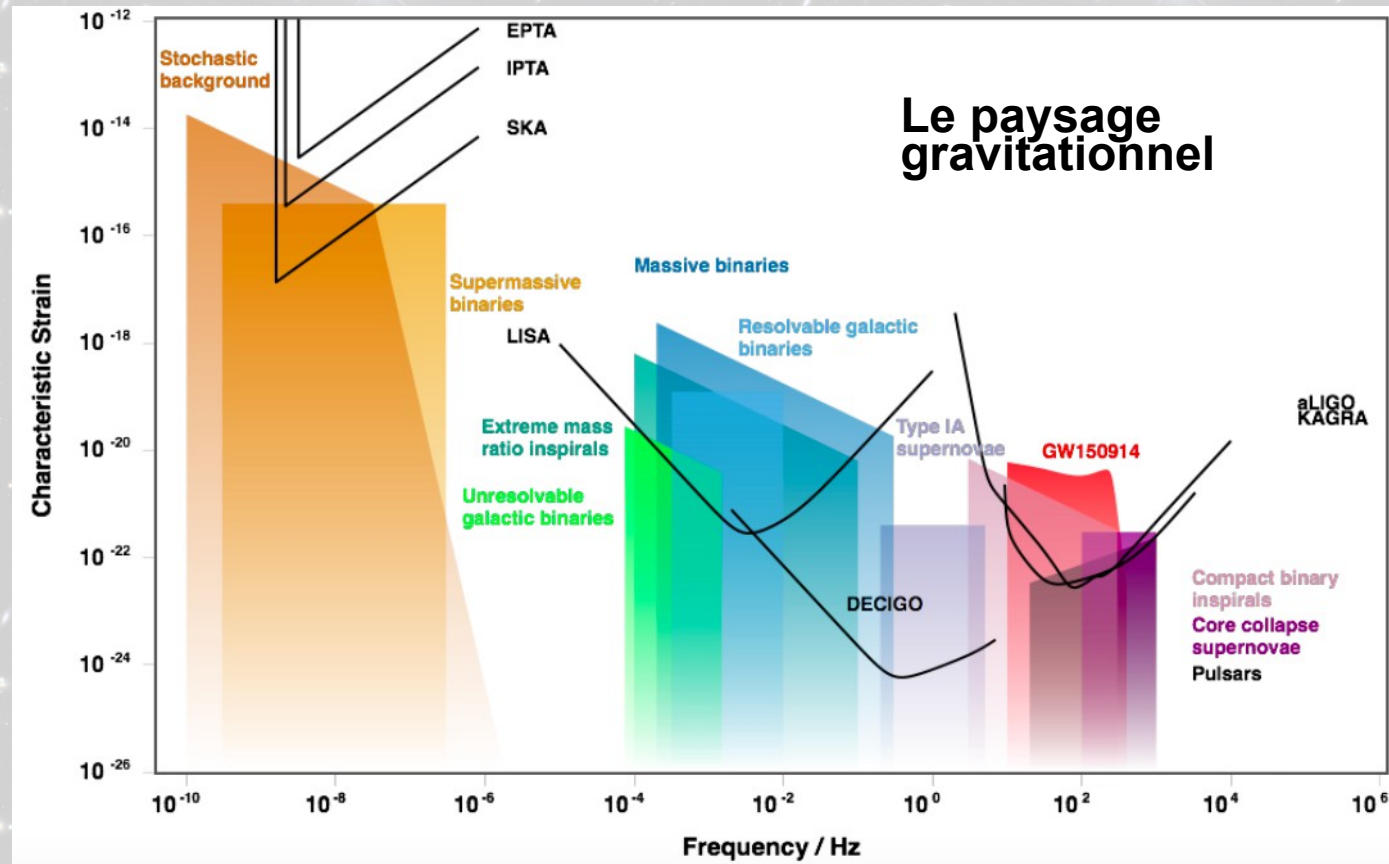
→ on est sensible à une *amplitude*  $\sim dt/T$  et des fréquences de l'ordre de  $f \sim 1/T$

**domaine de fréquences →  $10^{-9} - 10^{-7}$  Hz**

**Le fond d'ondes Gravitationnelles :**

*Le domaine du nanoHertz*

- Trous noirs binaires Super-massifs (SMBHB)
- Boucles de cordes cosmiques
- « Reliques » de l'inflation



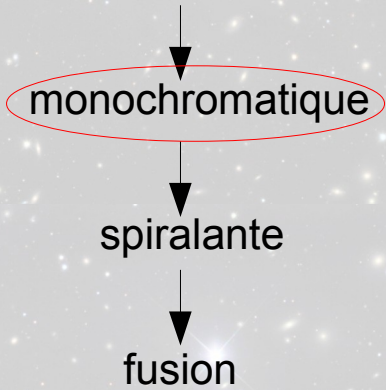
$$h_c(f) = A \left( \frac{f}{\text{yr}^{-1}} \right)^\alpha$$

**(Sesana 2015)**

Model	A	$\alpha$	References
Supermassive black holes	$10^{-15} - 10^{-14}$	$-2/3$	Jaffe & Backer (2003) Wyithe & Loeb (2003) Enoki et al. (2004)
Relic GWs	$10^{-17} - 10^{-15}$	$-1 - -0.8$	Grishchuk (2005)
Cosmic String	$10^{-16} - 10^{-14}$	$-7/6$	Maggiore (2000)

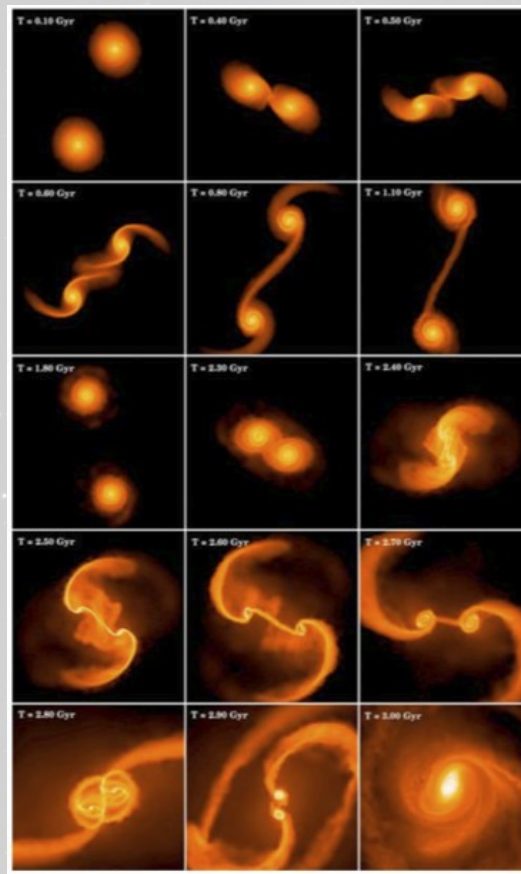
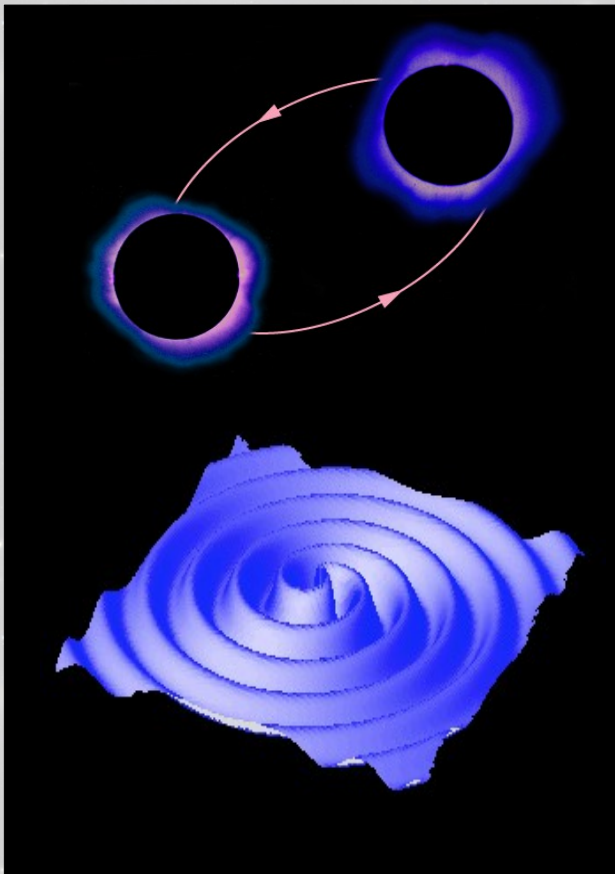
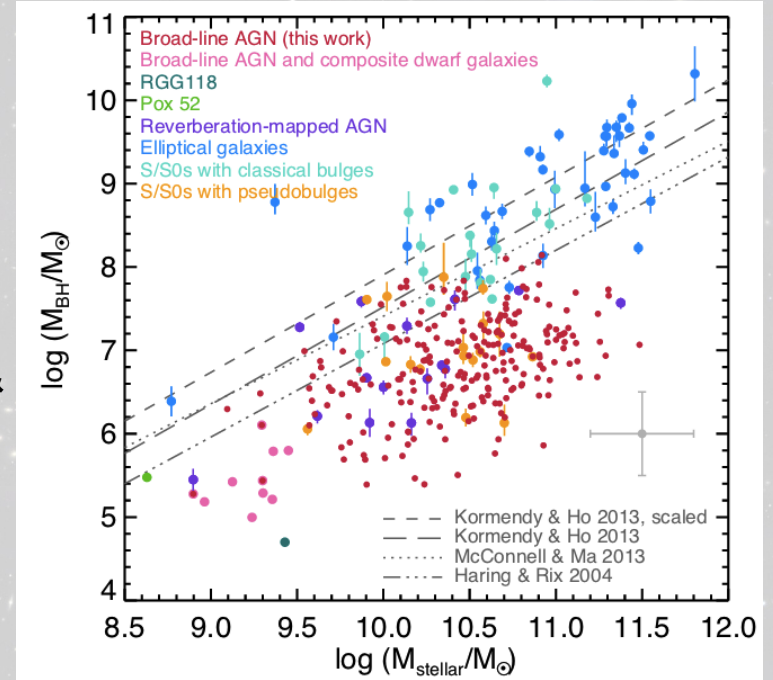
# Les modèles de population de trous noirs binaires super-massifs

Formation de la binaire



$M_{\text{BH}} > 10^7 M_{\odot}$   
Distance  $z < 2$

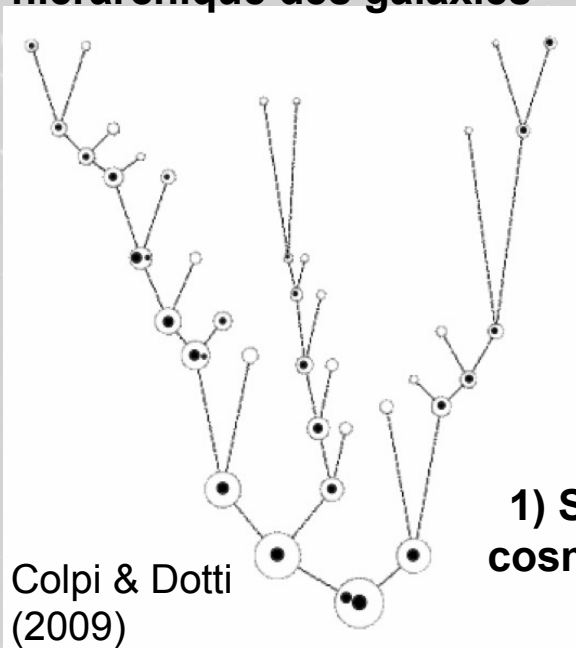
Reines & Volonteri (2015)



4) Lien entre BH et galaxie hôte

3) Modèles de formation de BH

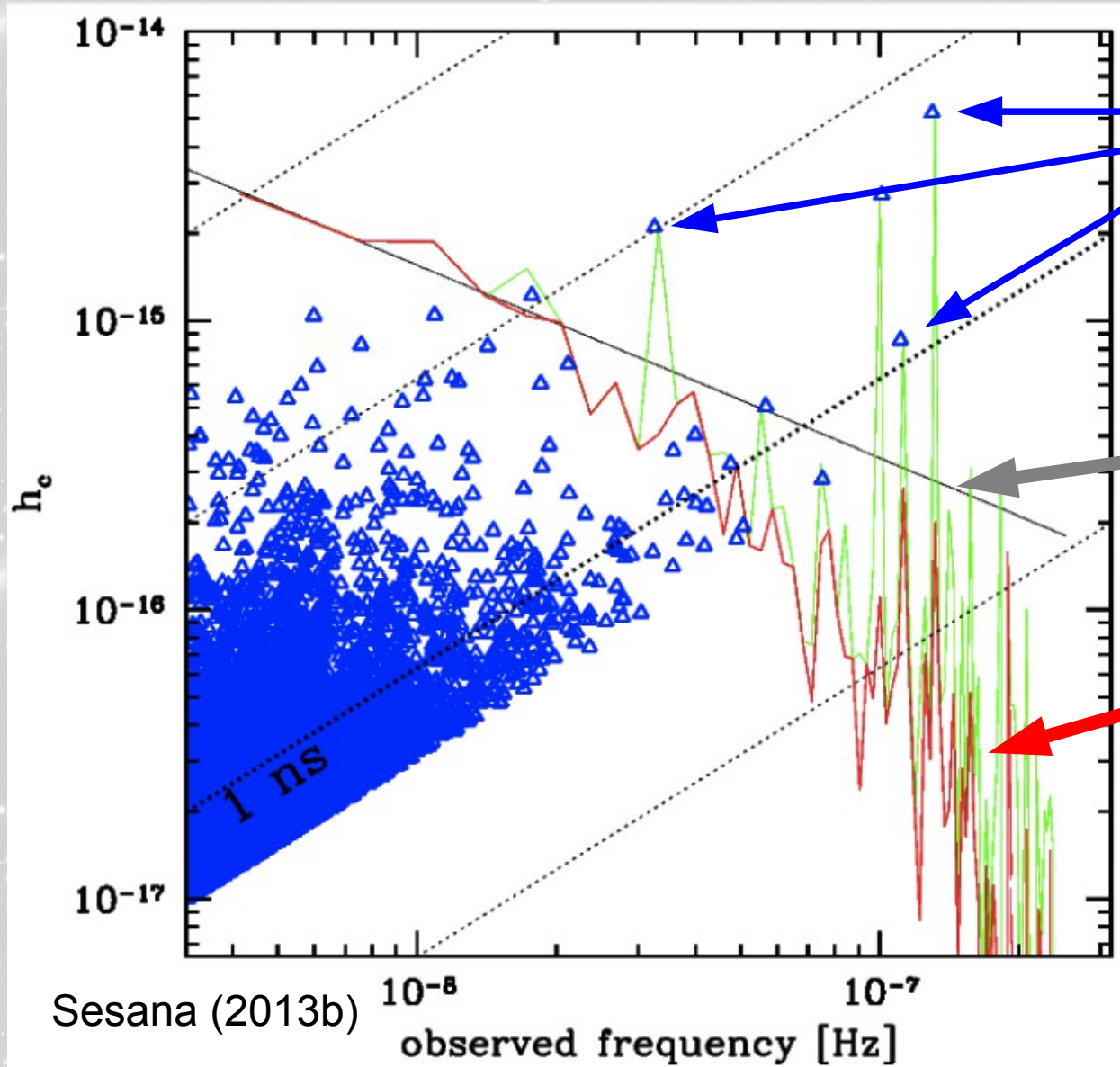
2) Scénario de formation hiérarchique des galaxies



1) Simulations cosmologiques  $\Lambda$ CDM

Colpi & Dotti (2009)

# Population SMBBH : contribution du fond & sources individuelles



Sources individuelles  
« résolubles »

Fond stochastique en  $f^{-2/3}$

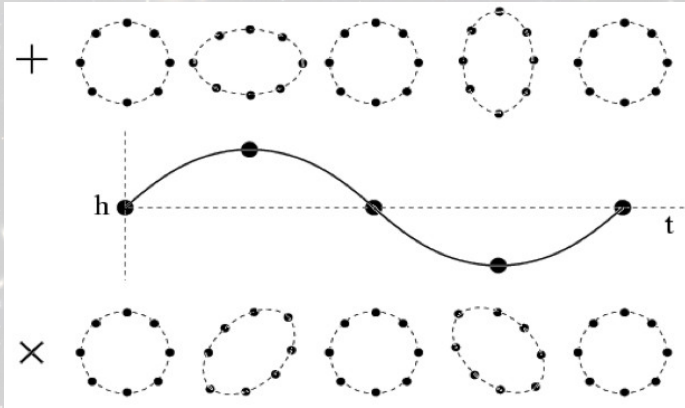
Contribution des sources  
non résolues

Un modèle simple  
de population :  
- orbites circulaires  
- pas d'interaction / étoiles et gaz  
- tous atteignent le régime  
d'émission gravitationnelle

Fond stochastique en  $f^{-2/3}$

$$h_c^2(f) = \int_0^\infty dz \int_0^\infty d\mathcal{M} \frac{d^3 N}{dz d\mathcal{M} d \ln f_r} h^2(f_r) \longrightarrow h_c(f) = A \left( \frac{f}{\text{yr}^{-1}} \right)^{-2/3} \quad (\text{Phinney 2001})$$

# Les modèles de population de trous noirs binaires super-massifs

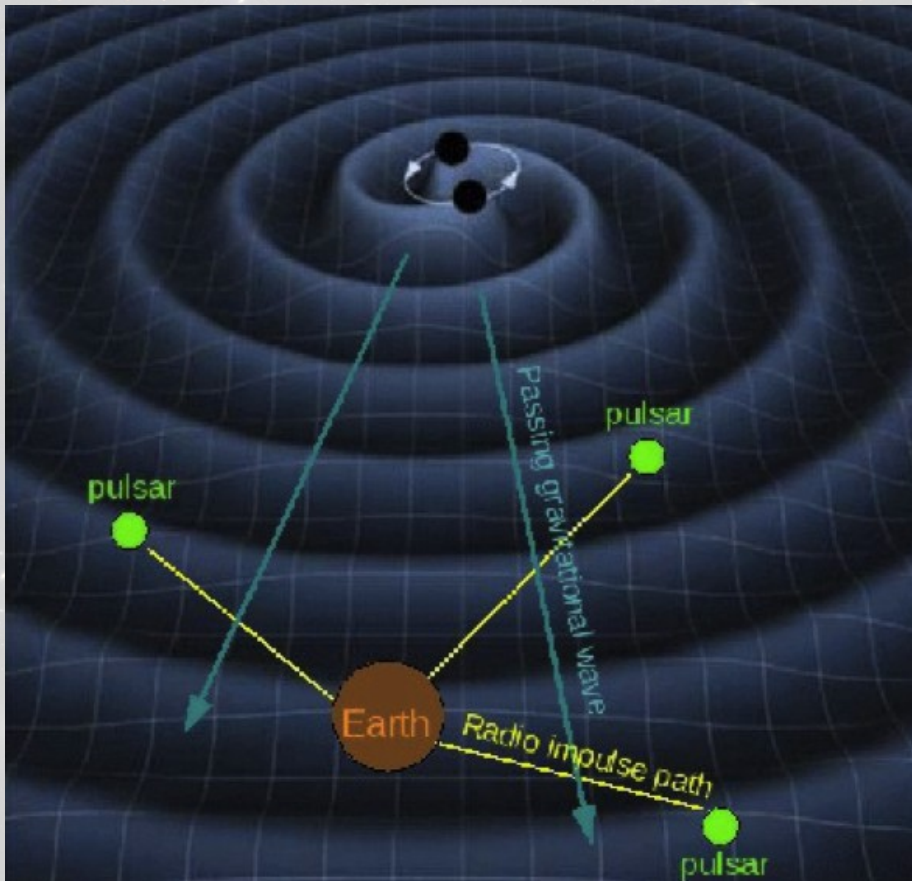


$$g_{\mu\nu} = \eta_{\mu\nu} + h_{\mu\nu} = \begin{pmatrix} -1 & 0 & 0 & 0 \\ 0 & 1 & 0 & 0 \\ 0 & 0 & 1 + h_{+}^{TT} & h_{\times}^{TT} \\ 0 & 0 & h_{\times}^{TT} & 1 - h_{+}^{TT} \end{pmatrix}$$

Une onde gravitationnelle est une déformation de l'espace-temps

$$h_{+}(t) = \mathcal{A}(1 + \cos^2 i) \cos(\Phi(t) + \Phi_0)$$

$$h_{\times}(t) = -2\mathcal{A} \cos i \sin(\Phi(t) + \Phi_0)$$



## Caractérisation de l'onde gravitationnelle :

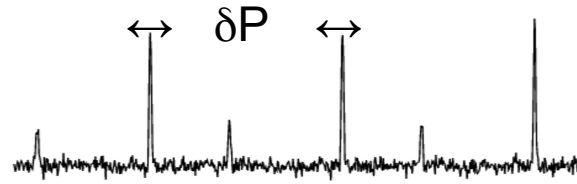
$7 + 2 \times N_{\text{pulsars}}$  paramètres

- $\alpha, \delta$  position de la source
- $D_L$  distance à la source
- $i$  inclinaison
- $f_e$  fréquence de l'onde à la Terre
- $\Phi$  phase
- $\Psi$  orientation (polarisation)
- +
- $f_p$  fréquence de l'onde au pulsar
- $\Phi_p$  décalage de phase dans le terme pulsar

# De l'onde gravitationnelle au résidu de temps d'arrivée :

$$r(t) = \int_0^t \frac{\delta\nu}{\nu}(t') dt'$$

$$\frac{\delta\nu}{\nu}(t) = \frac{1}{2} \frac{\hat{n}^i \hat{n}^j}{1 + \hat{n} \cdot \hat{k}} \left( h_{ij}(t - L(1 + \hat{k} \cdot \hat{n})) - h_{ij}(t) \right)$$



- $n$  : direction du pulsar
- $L$  : distance Terre – pulsar
- $h_{ij}$  : amplitude de l'onde
- $k$  : direction de propagation

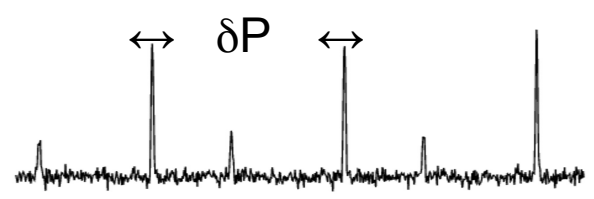
Amplitude de l'onde au pulsar

Amplitude de l'onde à la Terre

# De l'onde gravitationnelle au résidu de temps d'arrivée :

$$r(t) = \int_0^t \frac{\delta\nu}{\nu}(t') dt'$$

$$\frac{\delta\nu}{\nu}(t) = \frac{1}{2} \frac{\hat{n}^i \hat{n}^j}{1 + \hat{n} \cdot \hat{k}} \left( \underbrace{h_{ij}(t - L(1 + \hat{k} \cdot \hat{n}))}_{\text{Amplitude de l'onde au pulsar}} - \underbrace{h_{ij}(t)}_{\text{Amplitude de l'onde à la Terre}} \right)$$

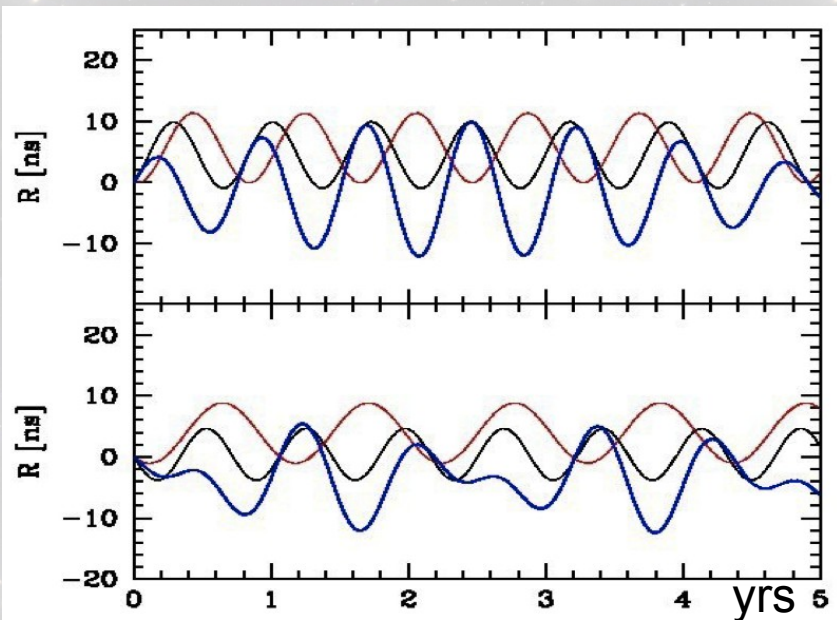


- $n$  : direction du pulsar
- $L$  : distance Terre – pulsar
- $h_{ij}$  : amplitude de l'onde
- $k$  : direction de propagation

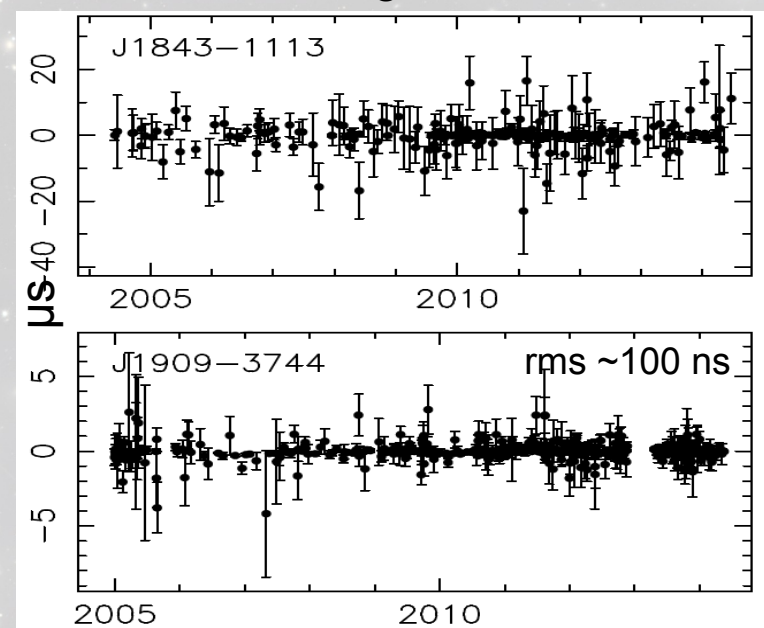
Amplitude de l'onde au pulsar

Amplitude de l'onde à la Terre

Sesana 2015



Desvignes et al 2015

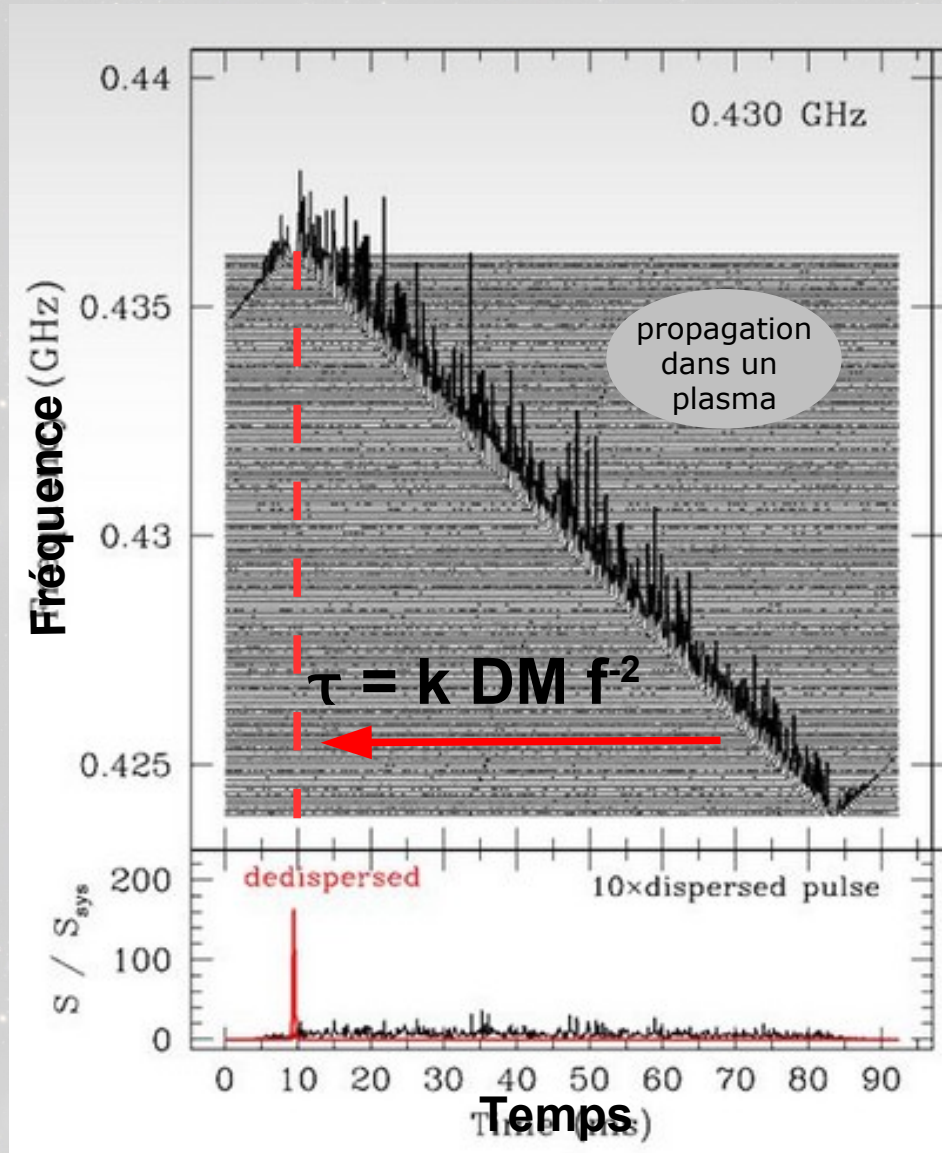


La superposition de l'ensemble des sources crée un fond stochastique avec une signature spectrale fonction de la nature de la population

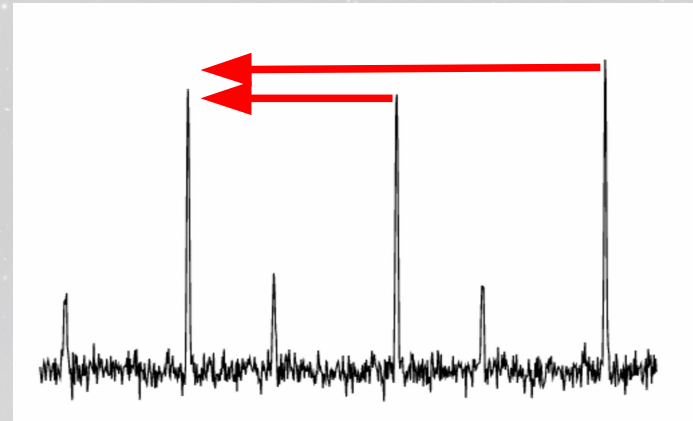
# Mise en pratique : l'art de la chronométrie

## I - problème de la dispersion

Les fréquences les plus basses sont "retardées"



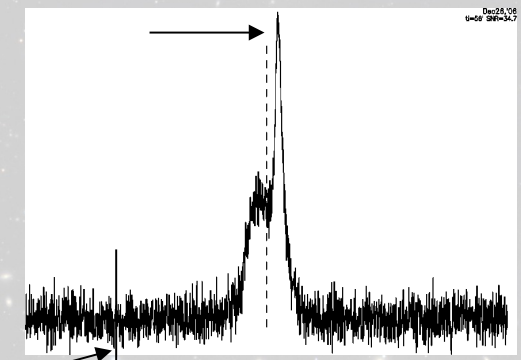
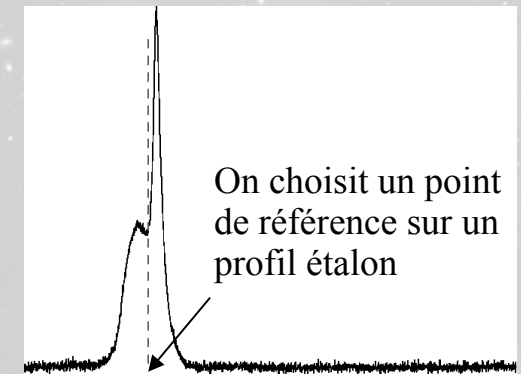
## II- Empilement en phase avec la rotation



Selon un modèle :  
ralentissement,  
mvt orbital,  
mvt propre  
éph. planétaire

## III – Datation (calcul d'un temps d'arrivée)

« TOA »



Position du premier échantillon de données, correspondant au départ de l'observation

## Besoin d'une précision extrême

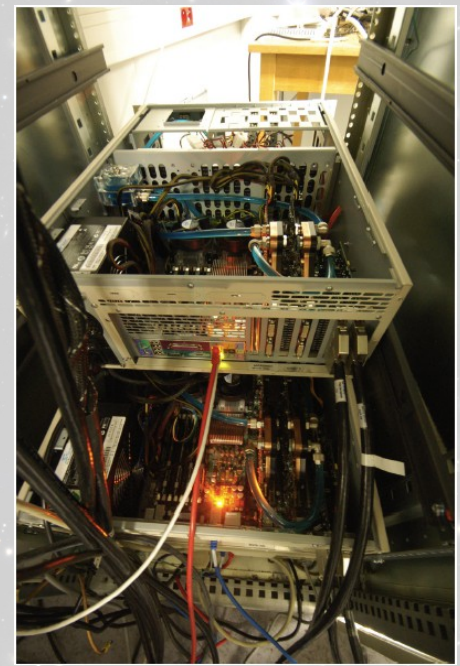
L'incertitude de datation peut descendre à 10-20 ns pour quelques pulsars

$$\sigma_{\text{TOA}} \propto \frac{w}{S_{\text{PSR}}} \frac{T_{\text{sys}}}{A} \frac{1}{\sqrt{BT}}$$

Des flux faibles ~mJy (1 Jy =  $10^{-26}$  W/m<sup>2</sup>)

→ besoin d'une large bande passante

→ besoin d'un grand radiotélescope



**Instrumentation actuelle :**  
dédispersion cohérente sur 512 MHz  
**4 PCs / 8 GPUs** (un flux de 16 Gb / s)

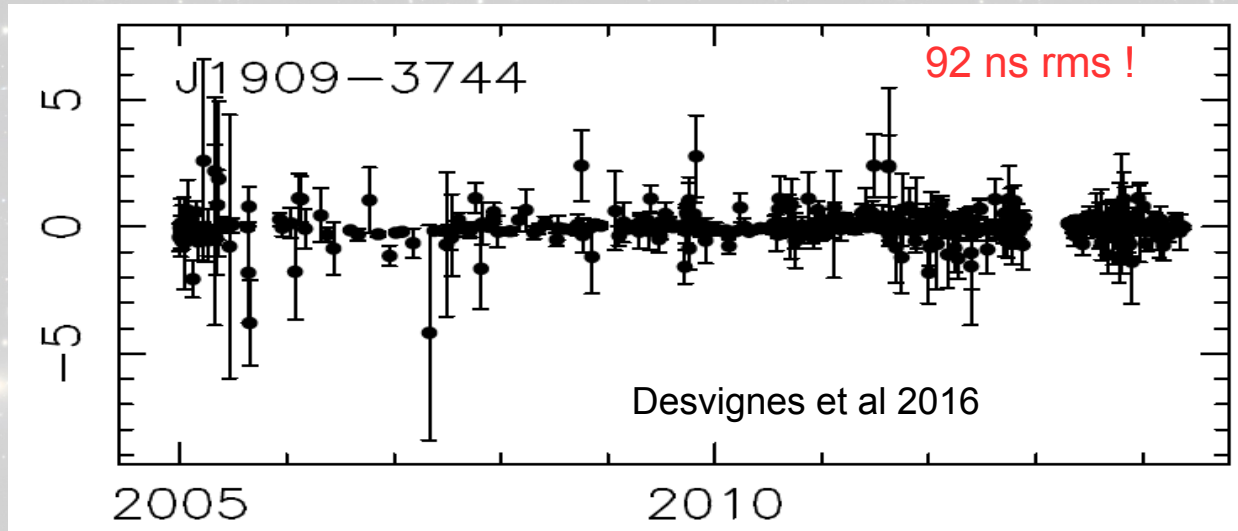
**NRT : radio télescope décimétrique de Nançay**  
7000 m<sup>2</sup> ~ parabole de 94 m  
1.1- 3.5 GHz



## Besoin d'une précision extrême

L'incertitude de datation peut descendre à 10-20 ns pour quelques pulsars

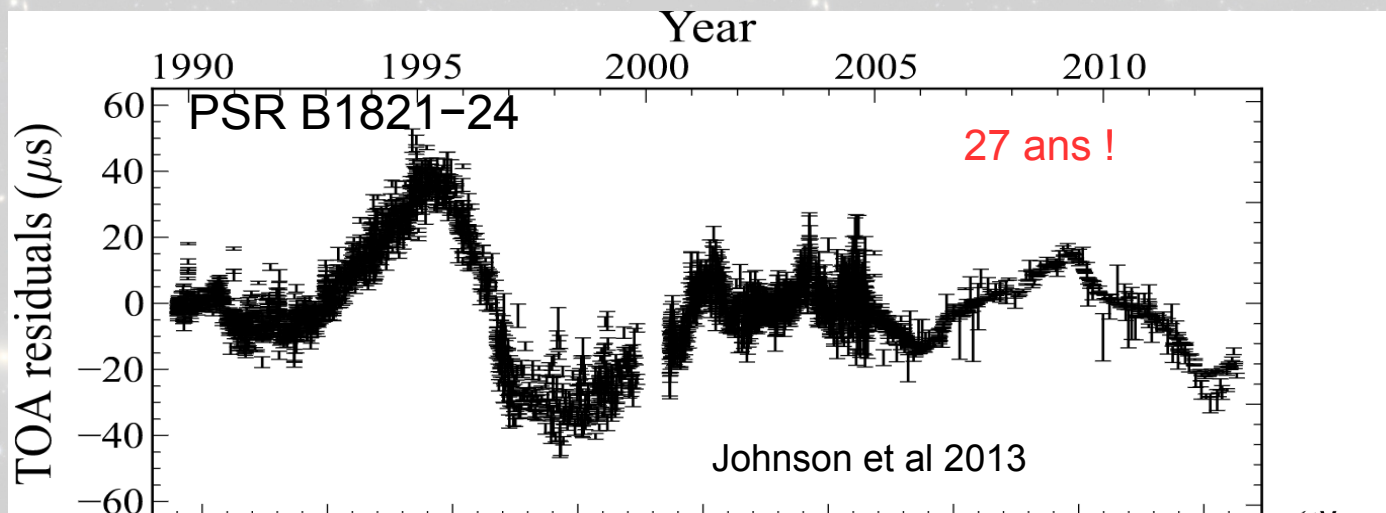
### Deux exemples :



Le pulsar le plus stable et le plus précis (92 ns sur 12 ans)

$$dt/T \sim 2.7 \cdot 10^{-16}$$

= *sensibilité*



La plus longue série temporelle (27 ans)

$$1/T \sim 1.2 \cdot 10^{-9} \text{ Hz}$$

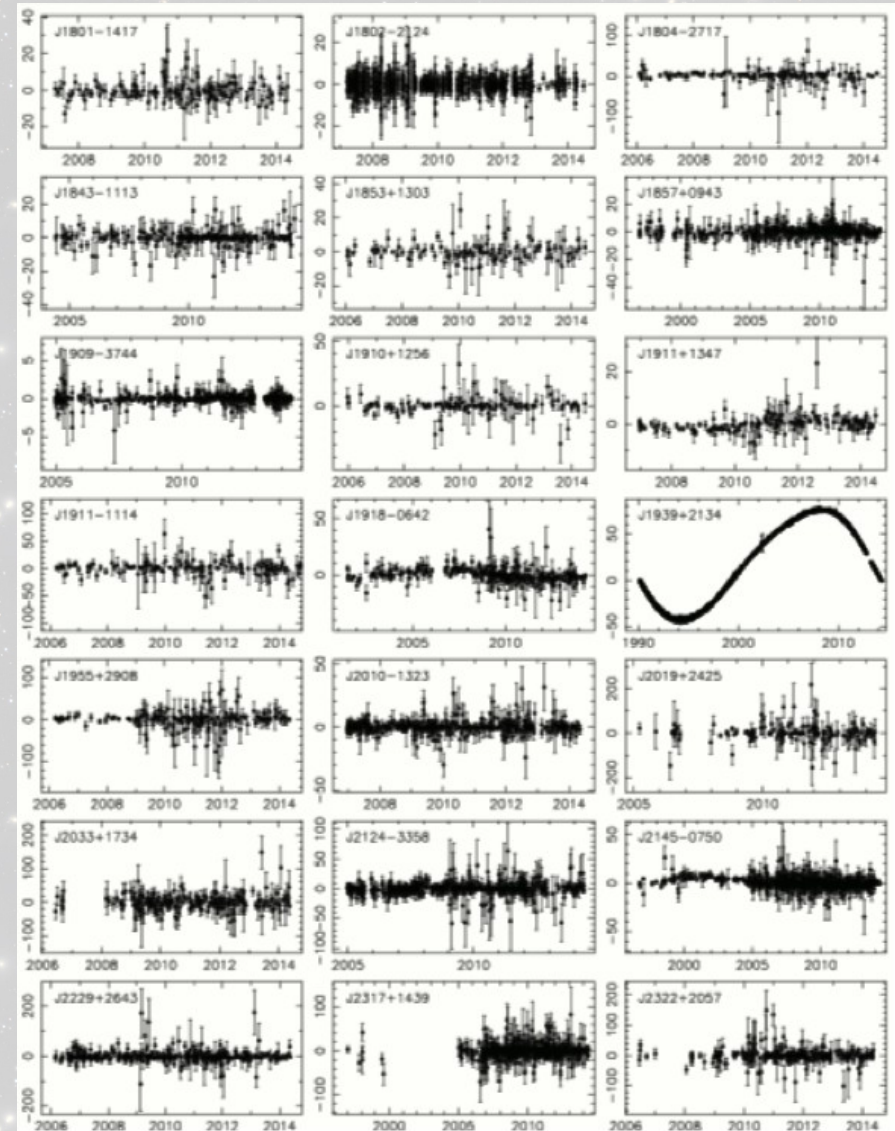
Récurrence de 2 obs/sem

$$1/T \sim 3.8 \cdot 10^{-6} \text{ Hz}$$

= *bande de fréquence accessible*

Augmenter le nb de TOAs et la densité des mesures, multiplier les bandes de fréquence

# Le réseau de chronométrie Européen



**EPTA - paper I**

**Desvignes et al 2015**  
Les données

+

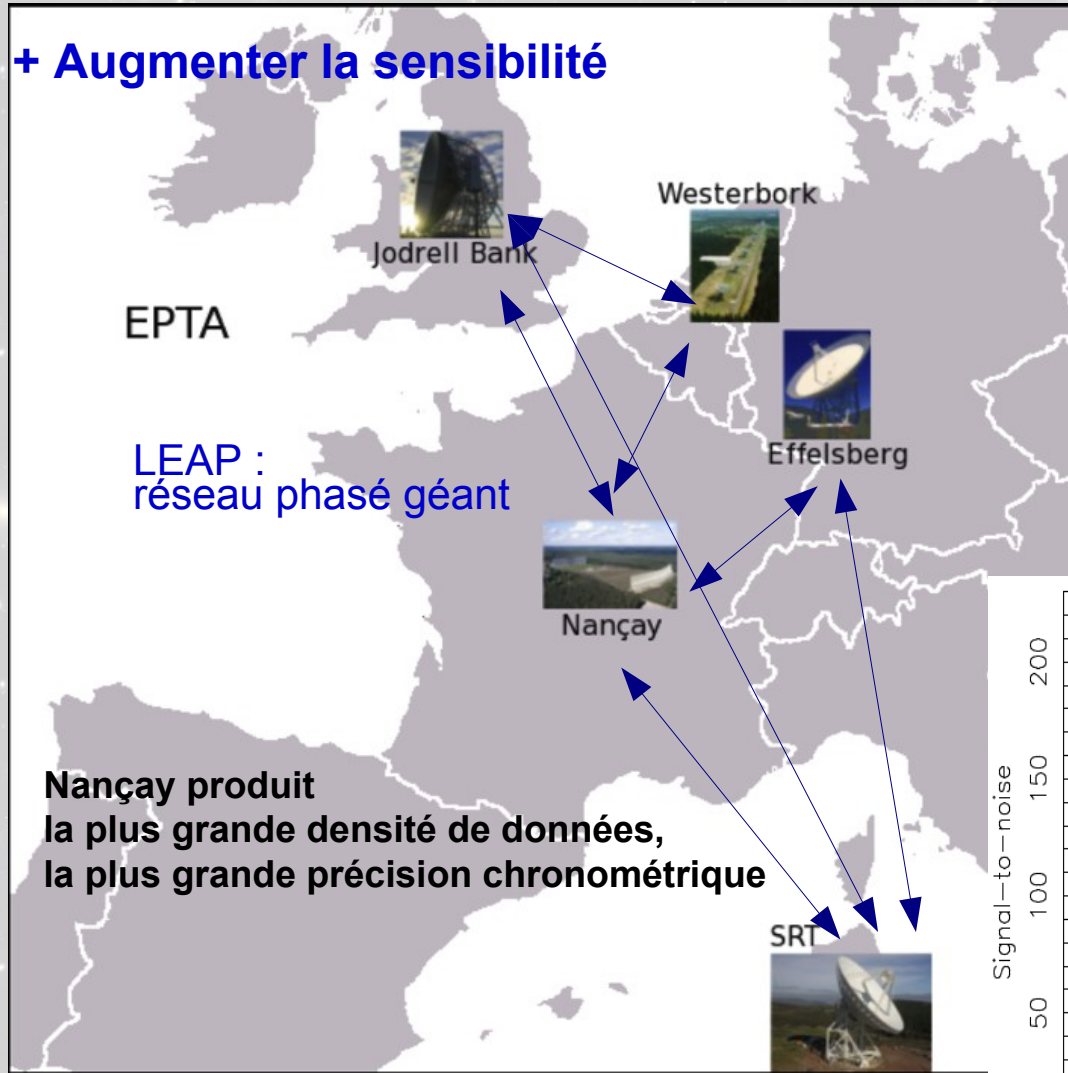
De nouvelles distances,  
mouvements propres,  
paramètres orbitaux, etc...

**Les données EPTA**  
**42 pulsars / 4 radiotélescopes**  
**61 % Nançay**

Augmenter le nb de TOAs et la densité des mesures, multiplier les bandes de fréquence

# Le réseau de chronométrie Européen

+ Augmenter la sensibilité

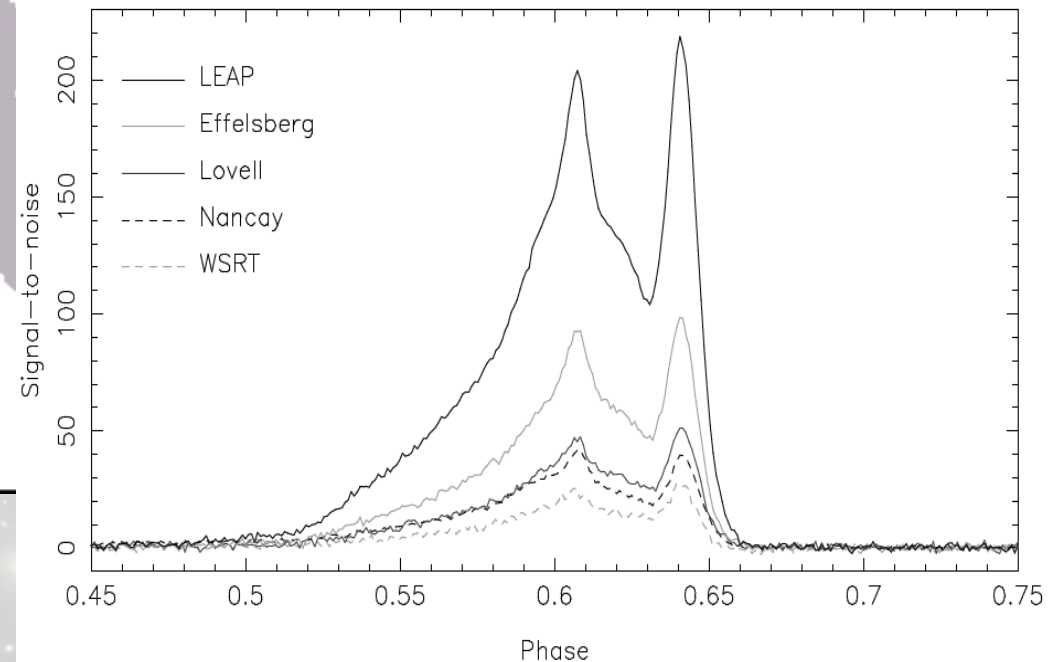


Somme cohérente en forme d'onde  
des séries temporelles issues  
des 5 radiotélescopes

**EPTA/LEAP**

**Bassa et al 2016**

Pipeline et premiers résultats



Augmenter le nb de TOAs et la densité des mesures, multiplier les bandes de fréquence

# La collaboration IPTA



# Analyse des avants plans = caractérisation des bruits

## Bruits blancs (bruit non-corrélé)

Instrumental → radiometer Eq., mesures multi-télescopes, LEAP

Astrophysique → 'pulse jitter'

## Bruits rouges (bruit corrélé)

Variations de la mesure de dispersion → mesures multi-fréquences

Bruit de rotation intrinsèque → perturbation d'un disque de petits corps ?  
Variations de  $\dot{E}$  ?, Séries de micro-glitches ?

Variations d'horloges → liens TAI, TT-BIPM

Ephémérides du Système Solaire → liens INPOP, JPL

Mouvement Galactique du Soleil → LSR

Signature ondes gravitationnelles → sources indiv., fond stochastique, « bursts »

# Analyse des données et extraction du signal gravitationnel

Toutes les méthodes sont basées sur la **fonction de vraisemblance**, qui décrit la probabilité que les résidus contiennent **un signal d'une certaine forme** décrit par **certains paramètres**

$$p(\delta\vec{t}|\vec{\xi}, \vec{\theta}) = \frac{1}{\sqrt{(2\pi)^n \det C}} \exp \left( -\frac{1}{2} \left( \delta\vec{t} - M\delta\vec{\xi} - \vec{s} \right)^T C^{-1} \left( \delta\vec{t} - M\delta\vec{\xi} - \vec{s} \right) \right)$$

Le signal gravitationnel est contenu dans **la matrice de corrélation C**,



$$C \sim \Gamma_{ab} \rho_i \delta_{ij} + \epsilon_i \delta_{ij} + \eta_i \delta_{ab} \delta_{ij} + \kappa_{ai} \delta_{ab} \delta_{ij}$$

Onde grav.   Clock/eph.   Instr./jitter   rot./disp.

# Analyse des données et extraction du signal gravitationnel

Toutes les méthodes sont basées sur la **fonction de vraisemblance**, qui décrit la probabilité que les résidus contiennent **un signal d'une certaine forme** décrit par **certains paramètres**

$$p(\delta\vec{t}|\vec{\xi}, \vec{\theta}) = \frac{1}{\sqrt{(2\pi)^n \det C}} \exp \left( -\frac{1}{2} \left( \delta\vec{t} - M\delta\vec{\xi} - \vec{s} \right)^T C^{-1} \left( \delta\vec{t} - M\delta\vec{\xi} - \vec{s} \right) \right)$$

Le signal gravitationnel est contenu dans **la matrice de corrélation C**,

qui dépend à la fois de l'amplitude du signal en fonction de la position sur le ciel et du « diagramme d'antenne » :

$$C \sim \Gamma_{ab} \rho_i \delta_{ij} + \epsilon_i \delta_{ij} + \eta_i \delta_{ab} \delta_{ij} + \kappa_{ai} \delta_{ab} \delta_{ij}$$

Onde grav. Clock/eph. Instr./jitter rot./disp.

$$\rho = h_c(f)^2 / (12\pi^2 f^3 T_{\max})$$

$$\Gamma_{ab} = \frac{3}{8\pi} (1 + \delta_{ab}) \int_{S^2} d\hat{\Omega} P(\hat{\Omega}) \sum_A F_a^A(\hat{\Omega}) F_b^A(\hat{\Omega})$$

# Analyse des données et extraction du signal gravitationnel

Toutes les méthodes sont basées sur la **fonction de vraisemblance**, qui décrit la probabilité que les résidus contiennent **un signal d'une certaine forme** décrit par **certains paramètres**

$$p(\delta\vec{t}|\vec{\xi}, \vec{\theta}) = \frac{1}{\sqrt{(2\pi)^n \det C}} \exp\left(-\frac{1}{2} (\delta\vec{t} - M\delta\vec{\xi} - \vec{s})^T C^{-1} (\delta\vec{t} - M\delta\vec{\xi} - \vec{s})\right)$$

Le signal gravitationnel est contenu dans **la matrice de corrélation C**,

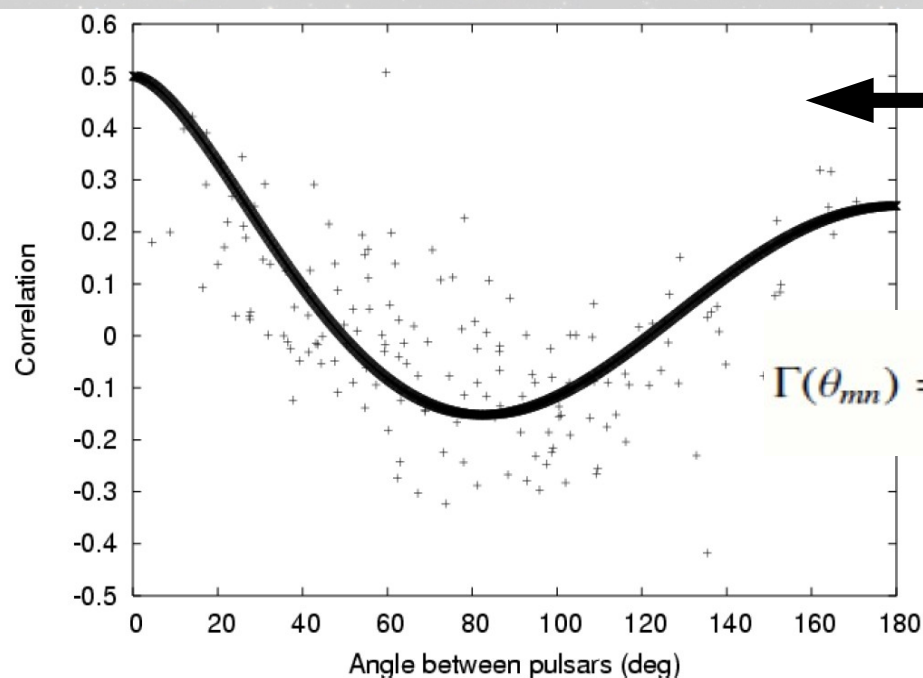
qui dépend à la fois de l'amplitude du signal en fonction de la position sur le ciel et du « diagramme d'antenne » :

$$C \sim \Gamma_{ab} \rho_i \delta_{ij} + \epsilon_i \delta_{ij} + \eta_i \delta_{ab} \delta_{ij} + \kappa_{ai} \delta_{ab} \delta_{ij}$$

Onde grav. Clock/eph. Instr./jitter rot./disp.

$$\rho = h_c(f)^2 / (12\pi^2 f^3 T_{\max})$$

$$\Gamma_{ab} = \frac{3}{8\pi} (1 + \delta_{ab}) \int_{S^2} d\hat{\Omega} P(\hat{\Omega}) \sum_A F_a^A(\hat{\Omega}) F_b^A(\hat{\Omega})$$



**On recherche un signal corrélé !!!**

**solution pour un fond isotrope :**

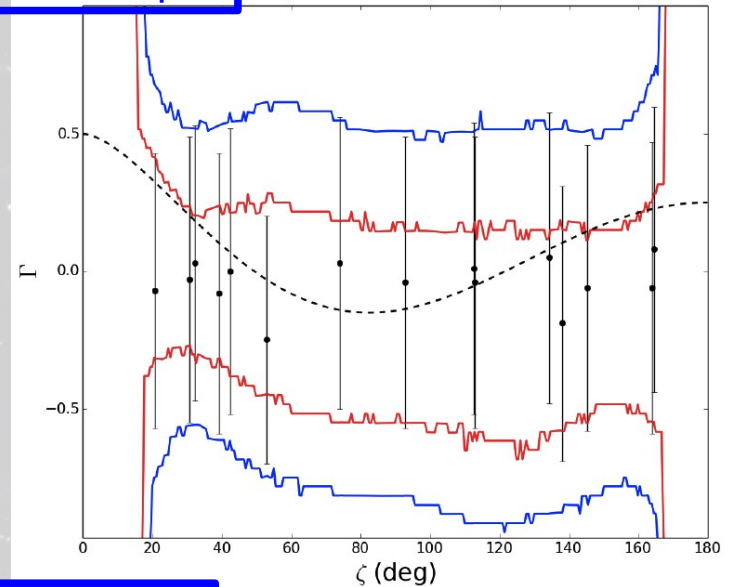
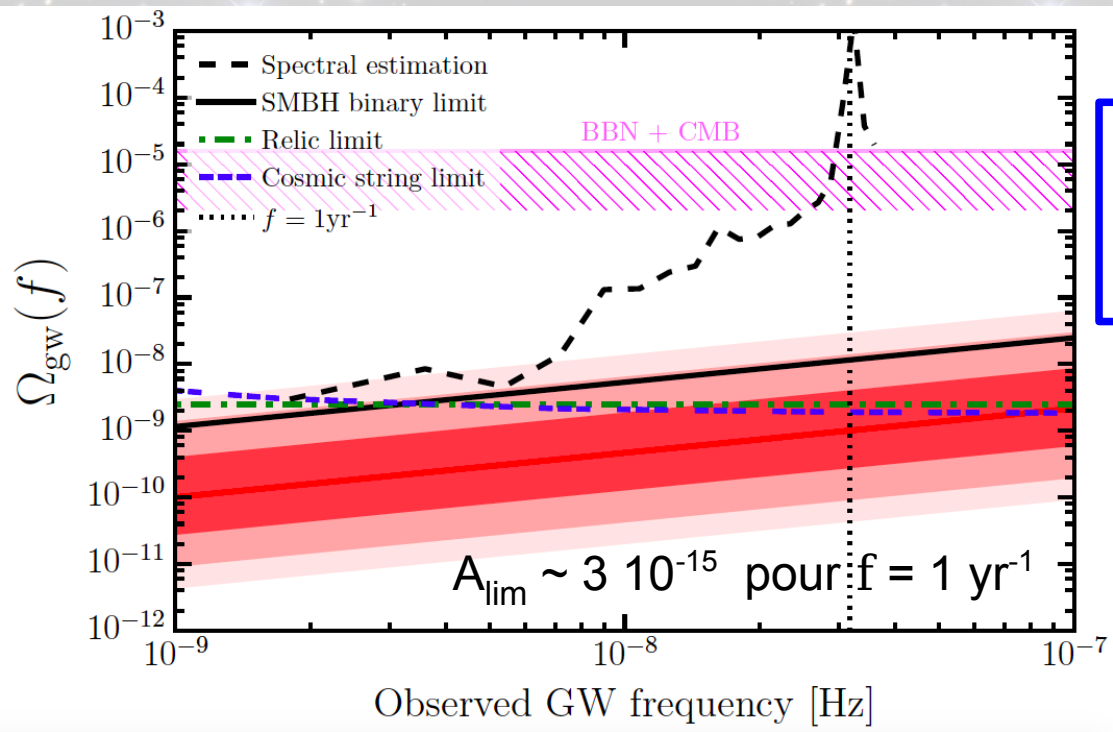
$$\Gamma(\theta_{mn}) = \frac{3}{8} \left[ 1 + \frac{\cos \theta_{mn}}{3} + 4(1 - \cos \theta_{mn}) \ln \left( \sin \frac{\theta_{mn}}{2} \right) \right] (1 + \delta_{mn})$$

**(Matrices ~ 30,000 x 30,000)**

# Premiers résultats européens en 2015

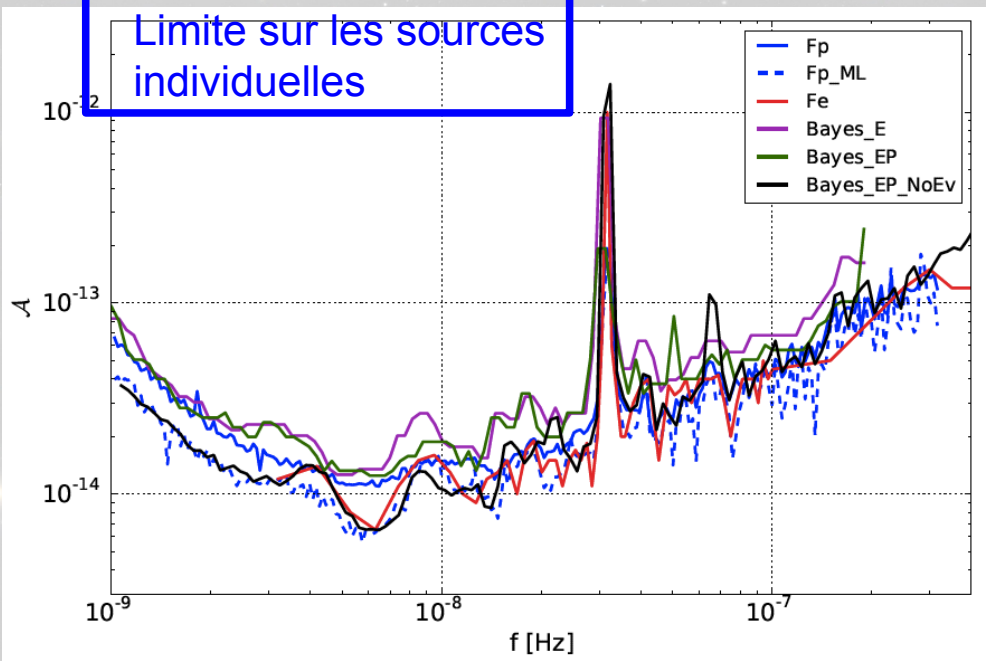
**EPTA – 6 « best »  
Lentati et al 2015**  
Limite sur un fond  
stochastique isotrope

Courbe de corrélation  
de « Hellings&Downs »  
→ pas de détection

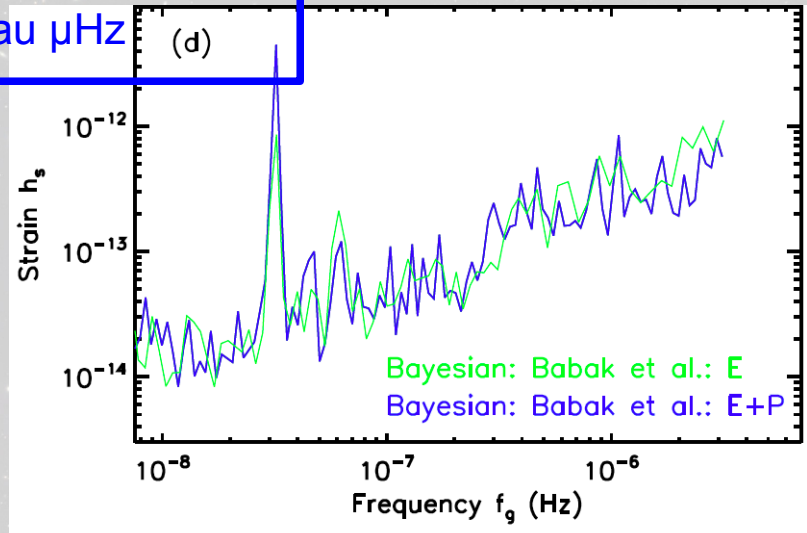


**EPTA – 6 « best »  
Babak et al 2016**  
Limite sur les sources  
individuelles

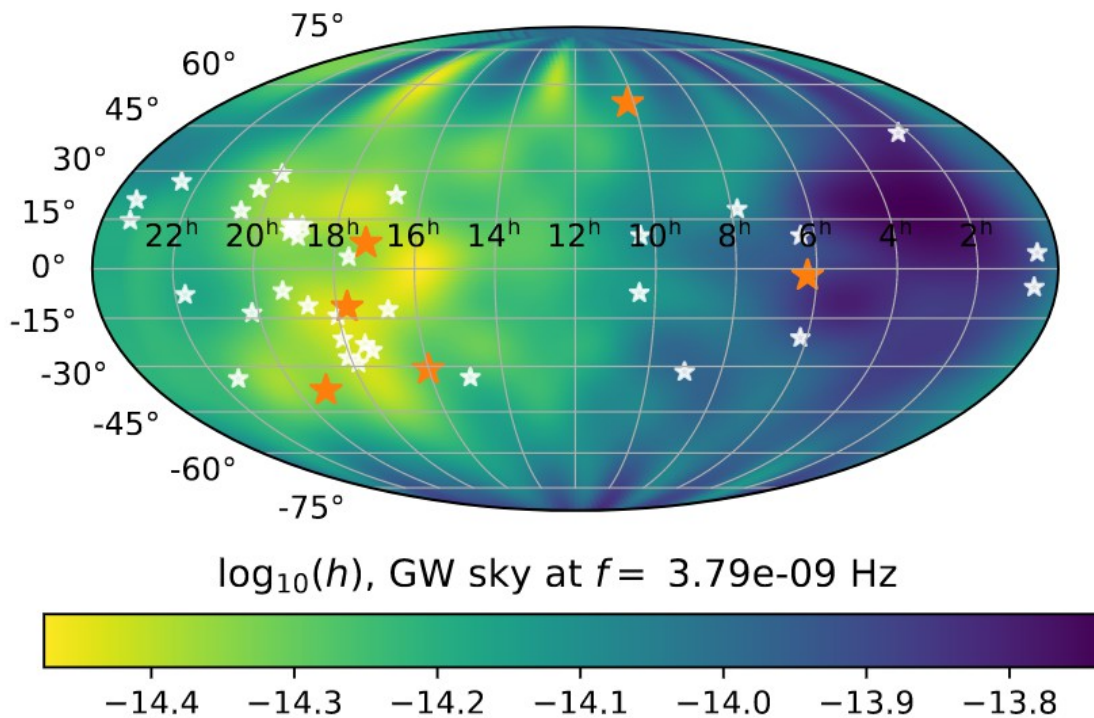
(Matrices ~ 30,000 x 30,000)



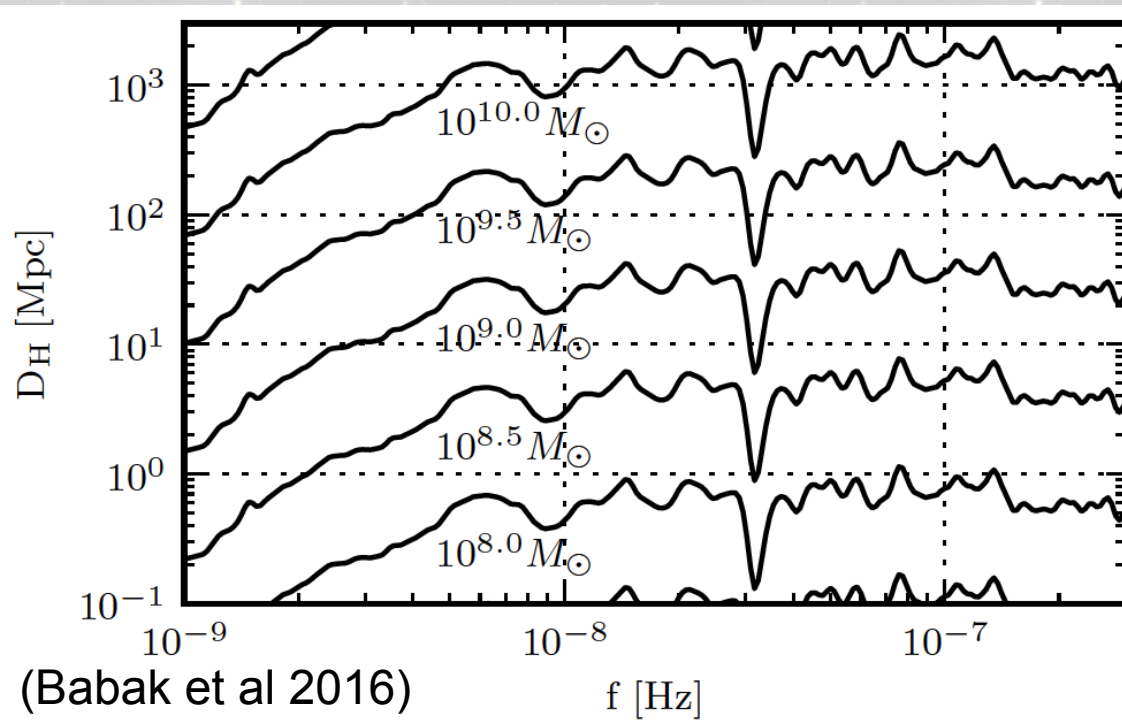
**EPTA – « single »  
Perera et al 2018**  
Limite au µHz



Mingarelli et al 2017  
Carte de sensibilité EPTA-2015 à 3.8 nHz



La sensibilité du réseau de pulsars dépend de la position sur la sphère céleste



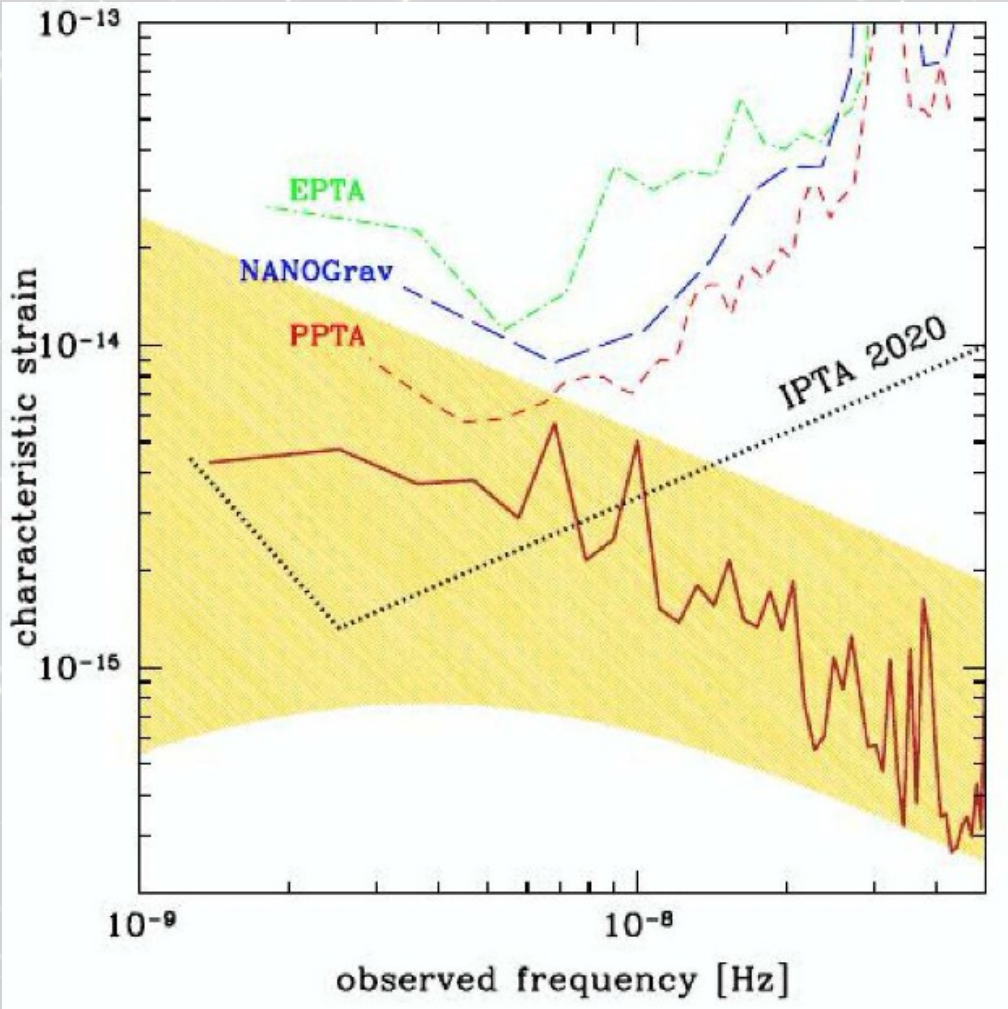
Les modèles astrophysiques courants prédisent **une probabilité de détection de 1% avec la Sensibilité de l'EPTA-2015**

**On peut exclure la présence d'un SMBHB avec une « chirp mass »**

de  $\mathcal{M}_c > 10^9 M_\odot$  jusqu'à 25Mpc

de  $\mathcal{M}_c > 3 \cdot 10^9 M_\odot$  jusqu'à 200 Mpc

# Bilan global 2017 des limites publiées

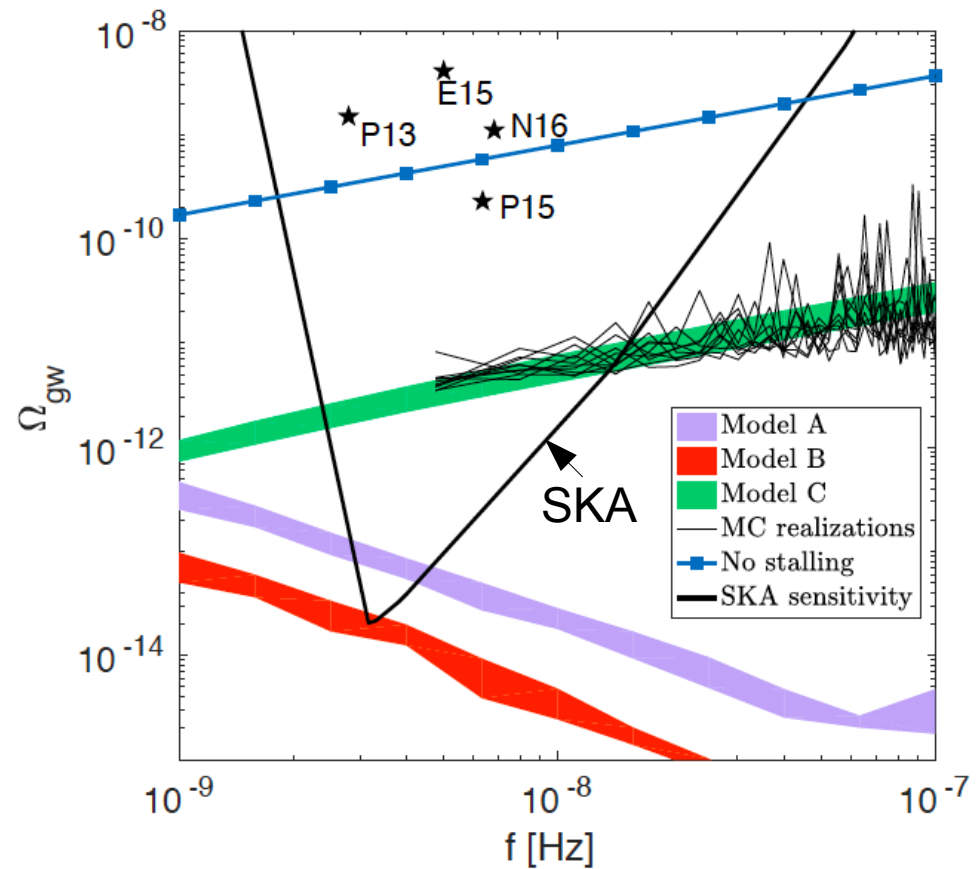


Hobbs et al 2017

Dvorkin&Barause 2017

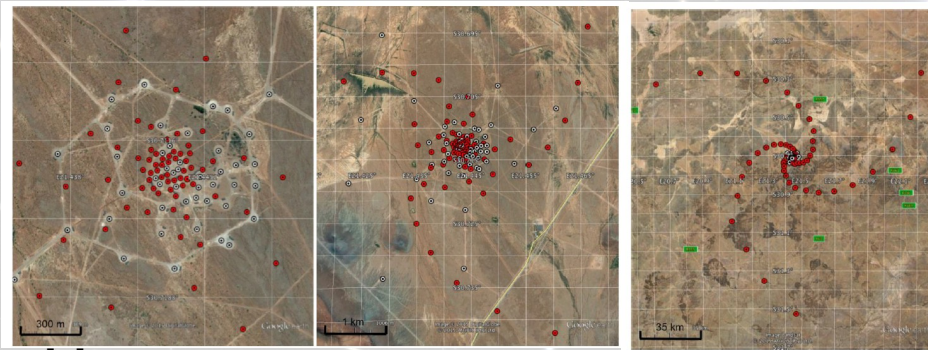
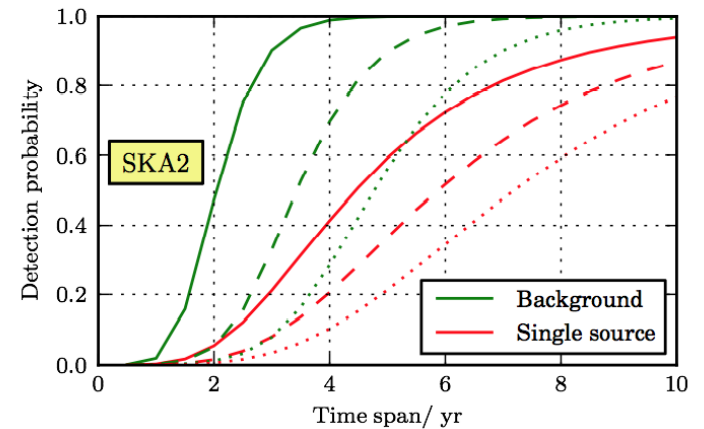
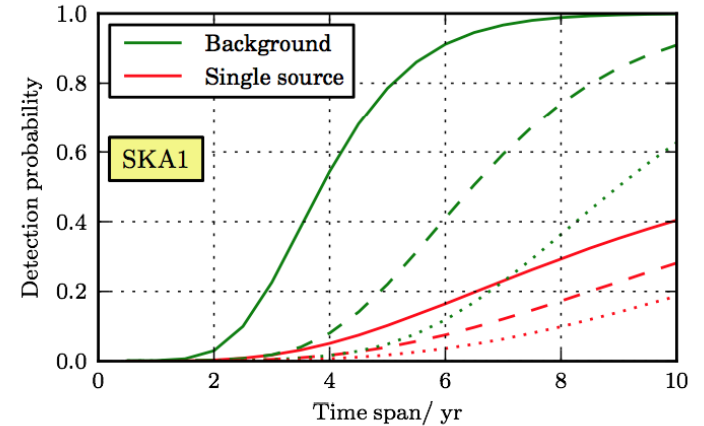
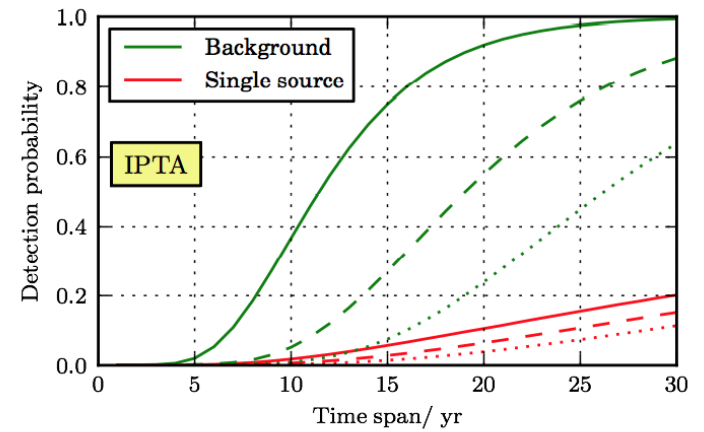
Une tendance qui montre qu'il manque des sources entre 1 et 10 nHz

➔ Des réflexions en cours sur les modèles de population



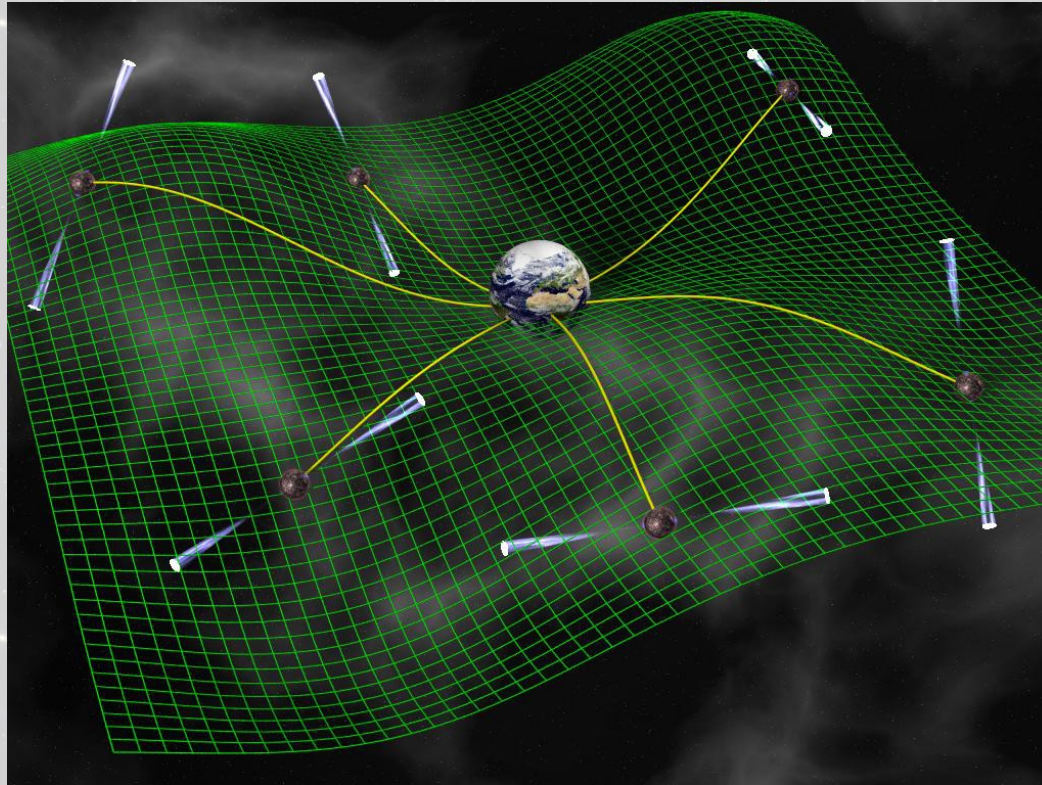


# Le futur avec l'IPTA et SKA



## SKA-mid en Afrique du Sud





Merci

## Analyses de bruits

### Bruits blancs (bruit non-corrélé)

Instrumental, 'pulse jitter'

### Bruits rouges (bruit corrélé)

Variations de la mesure de dispersion (DM)

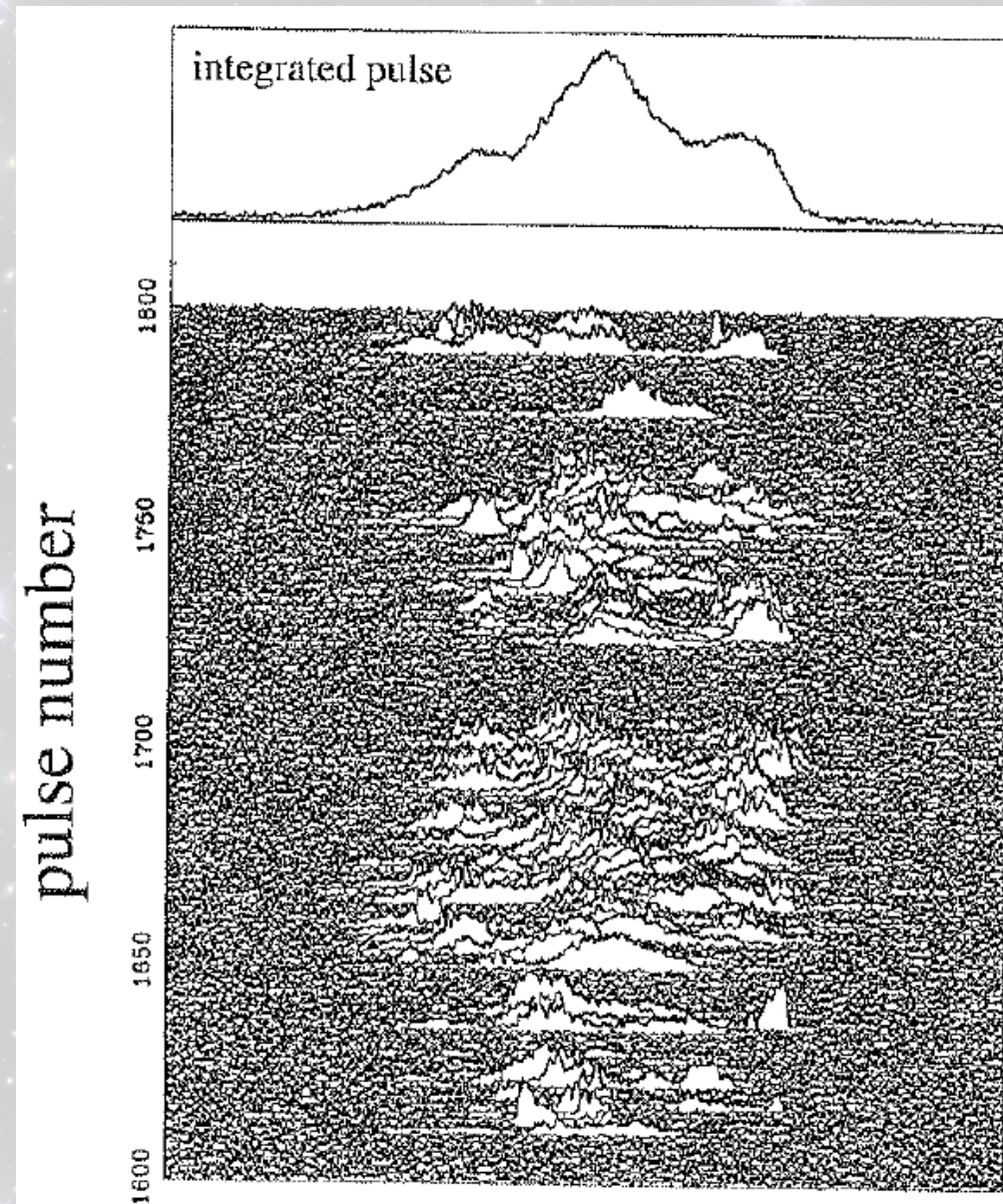
bruit de rotation

Variations d'horloges

Ephémérides du Système Solaire

Mouvement Galactique du Soleil (LSR)

Signature ondes gravitationnelles



PSR B1944+17

P = 440 ms

(Lorimer&Kramer 2005)

# Analyses de bruits

## Bruits blancs (bruit non-corrélé)

Instrumental, 'pulse jitter'

## Bruits rouges (bruit corrélé)

Variations de la mesure de dispersion (DM)

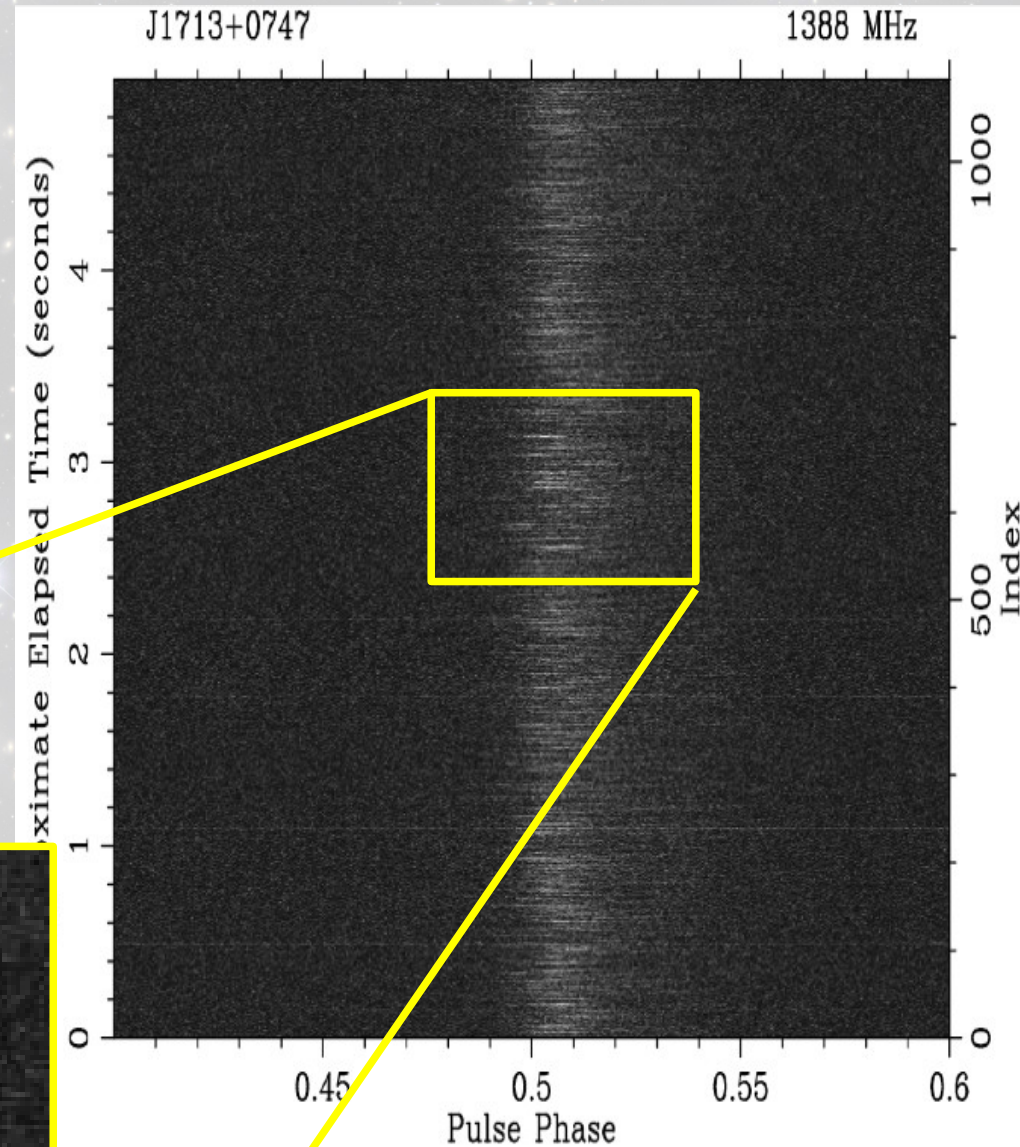
bruit de rotation

Variations d'horloges

Ephémérides du Système Solaire

Mouvement Galactique du Soleil (LSR)

Signature ondes gravitationnelles



PSRJ1713+0747

$P = 4.57 \text{ ms}$

Observation LEAP

Variations 'pulse à pulse'  
(Bassa et al 2015)

1% en phase  $\leftrightarrow$   $\sim 100 \text{ ns}$  sur 1 h

# Analyses de bruits

## Bruits blancs (bruit non-corrélé)

Instrumental, 'pulse jitter'

## Bruits rouges (bruit corrélé)

### Variations de la mesure de dispersion (DM)

bruit de rotation

Variations d'horloges

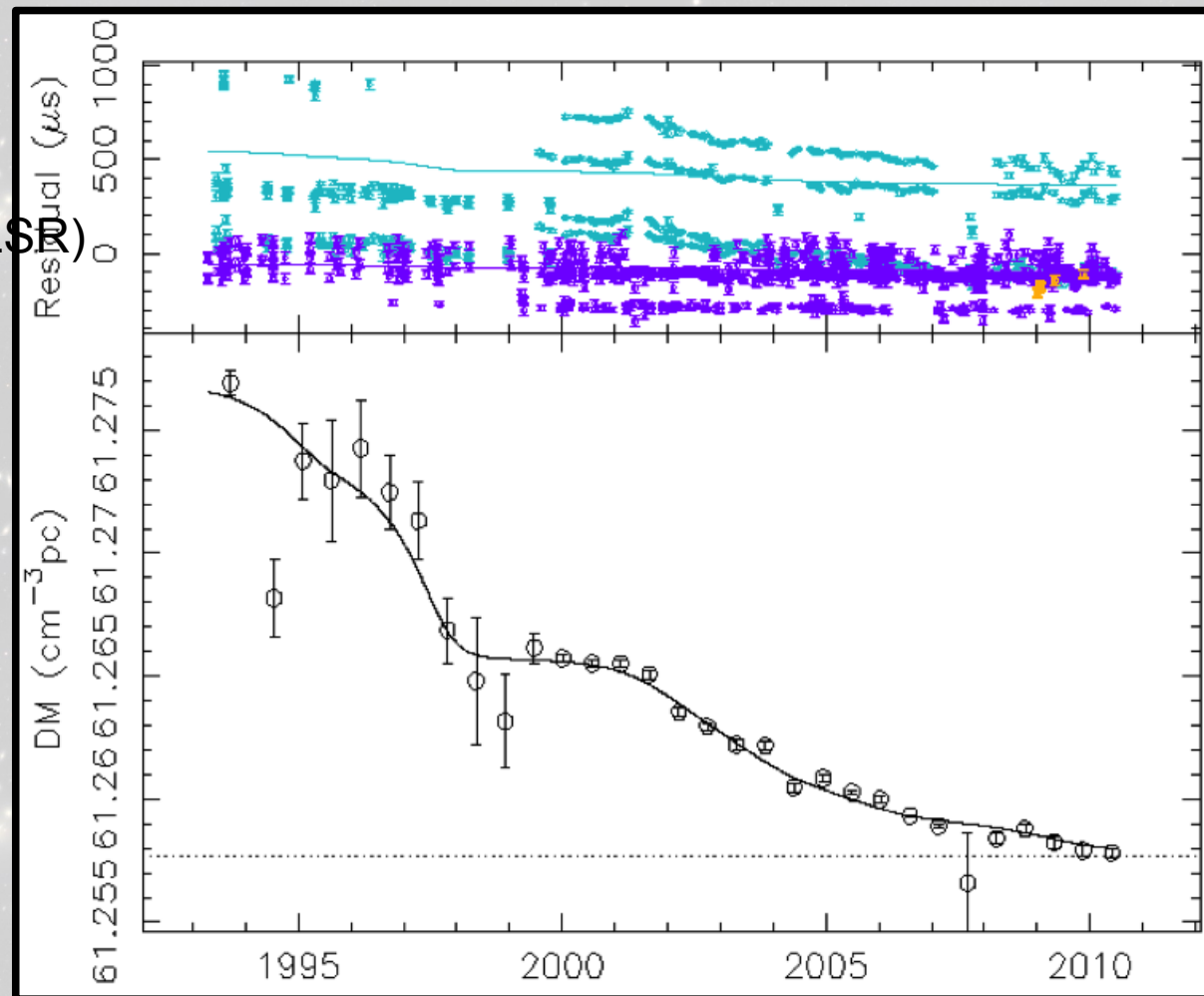
Ephémérides du Système Solaire

Mouvement Galactique du Soleil (LSR)

Signature ondes gravitationnelles

**Besoin de collecter des mesures multi-fréquence avec un bras de levier suffisant :  
500 MHz, 1400 MHz, 2.5 GHz**

**Evolution sur 18 ans  
de la mesure de dispersion (DM  $\propto$  contenu e-)  
pour le pulsar PSRJ0218+4232 (P=2.3 ms)**



## Analyses de bruits

### **Bruits blancs (bruit non-corrélé)**

Instrumental, 'pulse jitter'

### **Bruits rouges (bruit corrélé)**

Variations de la mesure de dispersion (DM)

### **bruit de rotation**

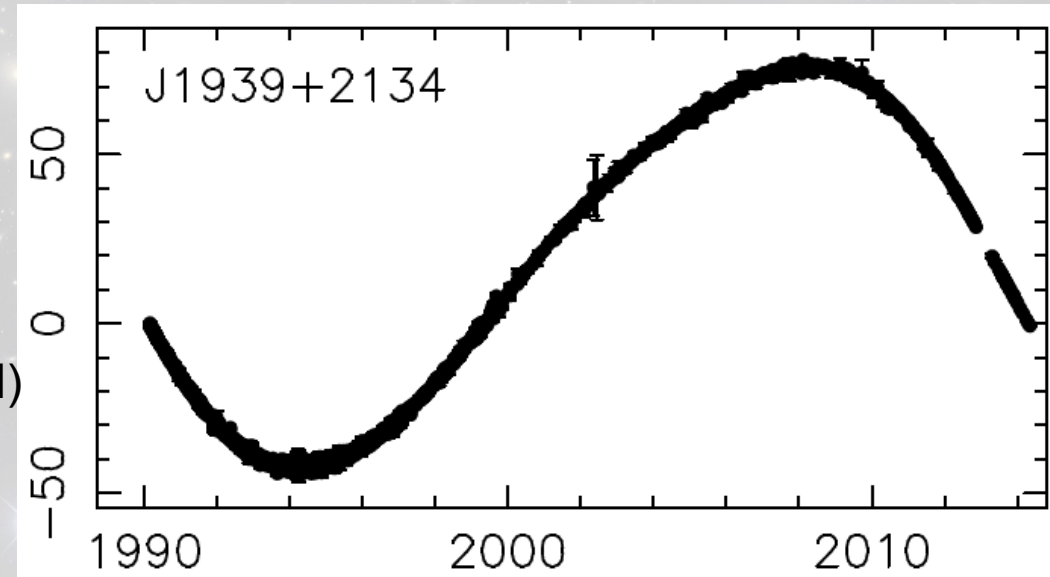
Variations d'horloges

Ephémérides du Système Solaire

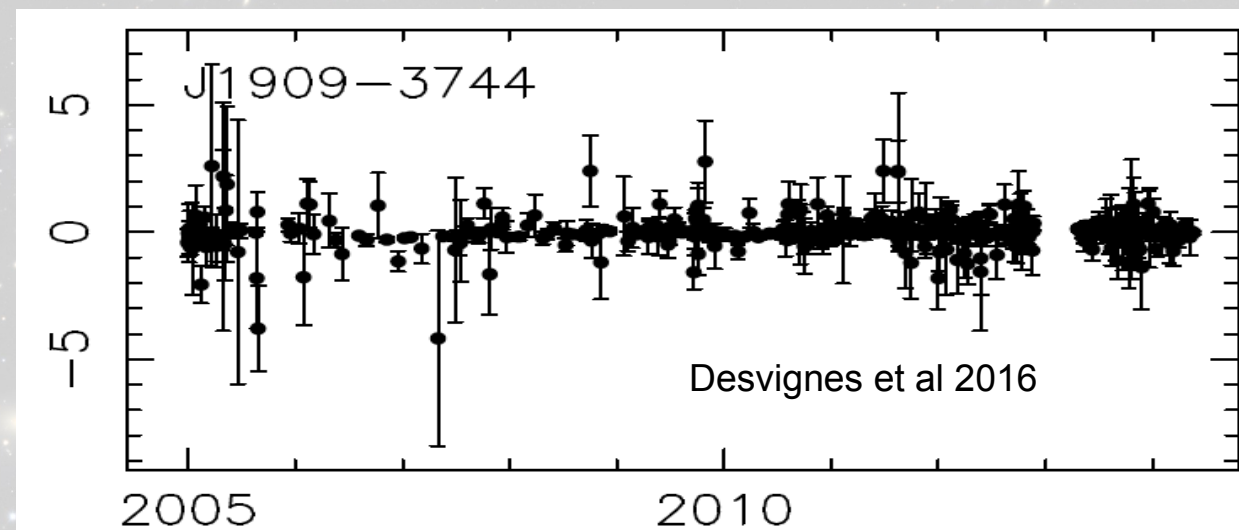
Mouvement Galactique du Soleil (LSR)

Signature ondes gravitationnelles

$P=1.55$  ms rms  $\sim 34.5$   $\mu$ s  $\langle \text{unc.} \rangle \sim 60$  ns



$P=2.9$  ms rms  $\sim 0.092$   $\mu$ s  $\langle \text{unc.} \rangle \sim 60$  ns



**Perturbation d'un disque  
de petits corps ?**

**Variations de  $\dot{E}$  ?**

**Séries de micro-glitches ?**

# Améliorations du jeu de données à court terme au NRT

## Nouveaux résultats NUPPI

$N(\text{rms} < 500 \text{ ns}) = 15$

$N(\text{rms} < 800 \text{ ns}) = 30$

$N(\text{rms} < 1 \mu\text{s}) = 40$



## Performances BON (2015 EPTA-paper I)

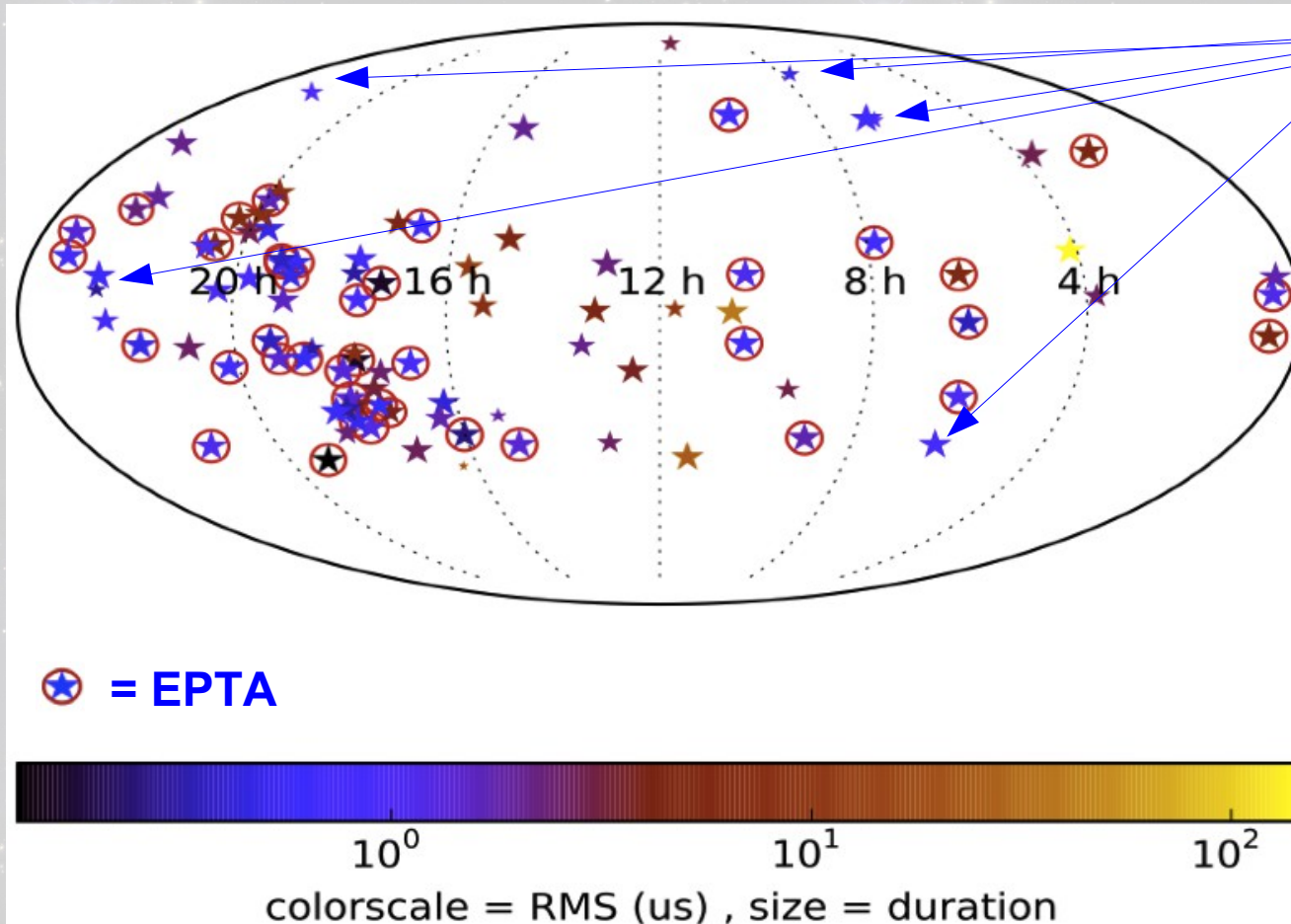
$N(\text{rms} < 500 \text{ ns}) = 2$

$N(\text{rms} < 800 \text{ ns}) = 5$

$N(\text{rms} < 1 \mu\text{s}) = 8$

> 200 pulsars suivis très régulièrement

## Répartition des MSPs stables sur le ciel



Quelques  
très bons  
candidats  
« PTA »

Cf Petiteau 2015

**Besoin de recherche  
de nouveaux objets**

→ relevés aveugles

→ l'aide de Fermi

→ SKA

**Les scenarii pessimistes**

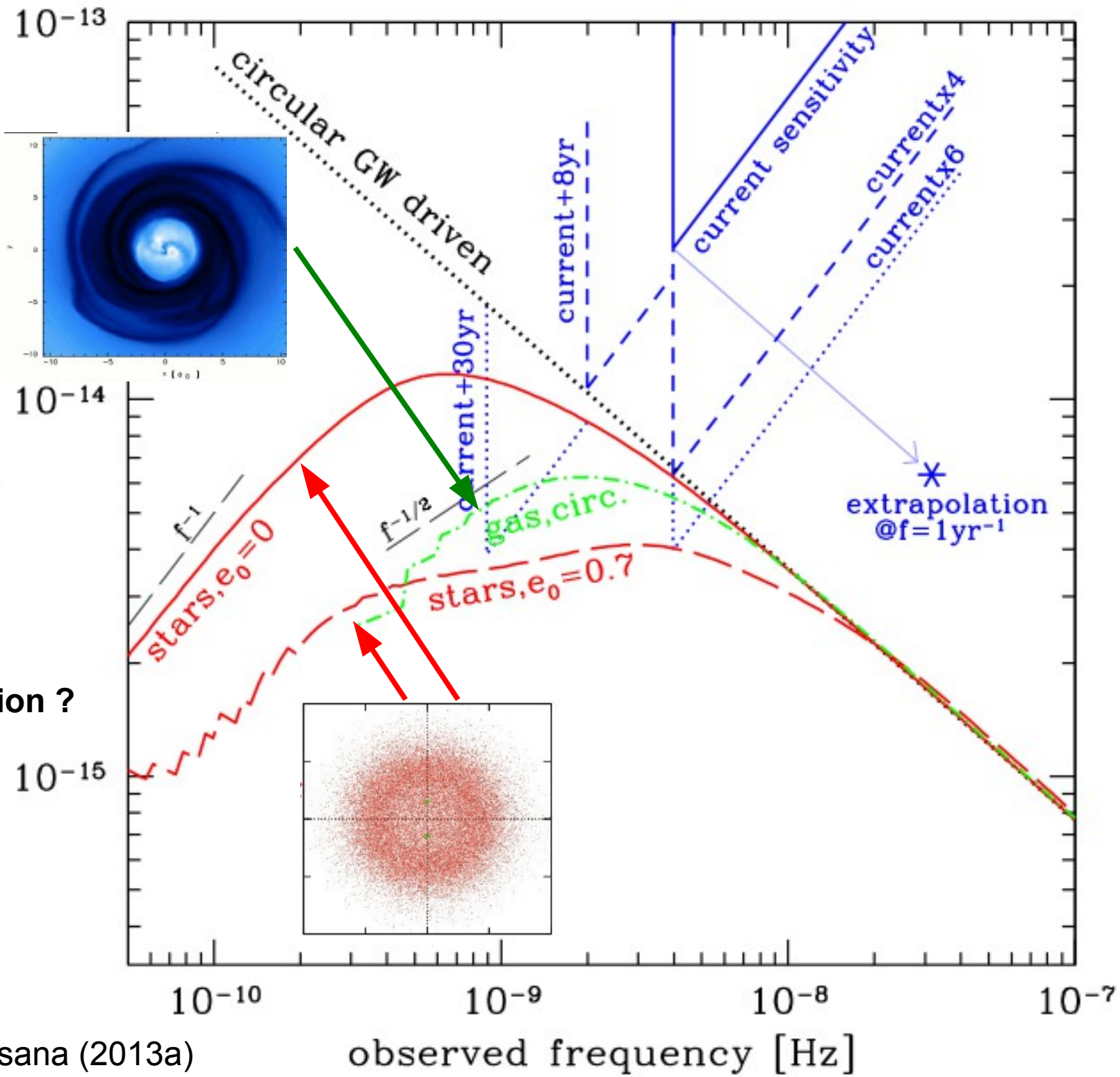
Contribution des disques d'accrétion

+

Orientation du spin

Excentricité

Quelle échelle de temps pour l'évolution ?



Sesana (2013a)

observed frequency [Hz]

# GW amplitude :

$$h_+(t) = \mathcal{A}(1 + \cos^2 i) \cos(\Phi(t) + \Phi_0)$$

$$h_\times(t) = -2\mathcal{A} \cos i \sin(\Phi(t) + \Phi_0)$$

$$\mathcal{A} = 2 \frac{\mathcal{M}_c^{5/3}}{D_L} (\pi f)^{2/3}$$

- i           inclinaison,
- $\Phi$            phase,
- $f=2 \pi \omega$    fréquence de l'onde Gr,
- $\mathcal{M}_c$         chirp mass,
- $D_L$         distance à la source Gr,
- $\Psi$         décalage de phase  
dans le terme pulsar,
- (p , q)     vecteur de polarisation  
de l'onde Gr

## terme Terre & terme pulsar

$$\underline{r_\alpha^e(t)} = \frac{\mathcal{A}}{2\pi f} \left\{ (1 + \cos^2 \iota) F_\alpha^+ [\sin(\omega t + \Phi_0) - \sin \Phi_0] + \right. \\ \left. 2 \cos \iota F_\alpha^\times [\cos(\omega t + \Phi_0) - \cos \Phi_0] \right\},$$

$$\underline{r_\alpha^p(t)} = \frac{\mathcal{A}_\alpha}{2\pi f_\alpha} \left\{ (1 + \cos^2 \iota) F_\alpha^+ [\sin(\omega_\alpha t + \Psi_\alpha + \Phi_0) - \right. \\ \left. \sin(\Psi_\alpha + \Phi_0)] + 2 \cos \iota F_\alpha^\times [\cos(\omega_\alpha t + \Psi_\alpha + \Phi_0) - \right. \\ \left. \cos(\Psi_\alpha + \Phi_0)] \right\},$$

$$F_\alpha^+ = \frac{1}{2} \frac{(\hat{n}^\alpha \cdot \vec{p})^2 - (\hat{n}^\alpha \cdot \vec{q})^2}{1 + \hat{n}^\alpha \cdot \hat{k}}$$

$$F_\alpha^\times = \frac{(\hat{n}^\alpha \cdot \vec{p})(\hat{n}^\alpha \cdot \vec{q})}{1 + \hat{n}^\alpha \cdot \hat{k}}$$

*p, q = polarisation vectors*

➔ 4 x 2 x Nobs x Npsr + 2 x Npsr x NGW

(Matrices ~ 30,000 x 30,000)

# Analyse des données et extraction du signal gravitationnel

Toutes les méthodes sont basées sur la **fonction de vraisemblance**, qui décrit la probabilité que les résidus contiennent **un signal d'une certaine forme** décrit par **certains paramètres**

$$P(\vec{\delta t}, \vec{\theta}) = \frac{1}{\sqrt{(2\pi)^{n-m} \det(G^T C G)}} \exp \left( -\frac{1}{2} (\vec{\delta t} - \vec{r})^T G (G^T C G)^{-1} G^T (\vec{\delta t} - \vec{r}) \right)$$

$\delta t$  : données (résidus de temps d'arrivée),

$r$  : modèle (résidus) ; signal gravitationnel pour la recherche de sources continues

$C$  : matrice variance-covariance : bruits de chronométrage + fond d'ondes gravitationnelles,  
pur bruit blanc  $\rightarrow$  diagonale  
bruits rouge+blanc / pulsars  $\rightarrow$  block-diagonale

$G$  : matrice dérivée de la 'design matrix' (linéarisation des modèles de rotation des pulsars),

$n$  : nombre de TOAs,

$m$  : nombre de paramètres du pulsar

**(Matrices  $\sim 30,000 \times 30,000$ )**

$$C \sim \Gamma_{ab} \rho_i \delta_{ij} + \epsilon_i \delta_{ij} + \eta_i \delta_{ab} \delta_{ij} + \kappa_{ai} \delta_{ab} \delta_{ij}$$

**Le signal gravitationnel est contenu dans la matrice de corrélation  $C$ , qui dépend à la fois de l'amplitude du signal en fonction de la position sur le ciel et du « diagramme d'antenne » :**

$$\Gamma_{ab} = \frac{3}{8\pi} (1 + \delta_{ab}) \int_{S^2} d\hat{\Omega} P(\hat{\Omega}) \sum_A F_a^A(\hat{\Omega}) F_b^A(\hat{\Omega})$$